

Министерство энергетики и электрификации СССР
ГЛАВНИИПРОЕКТ
Ордена Октябрьской Революции
Всесоюзный Государственный проектно-исследовательский
и научно-исследовательский институт энергетических
систем и электрических сетей
" ЭНЕРГОСЕТЫПРОЕКТ "

МЕТОДИЧЕСКИЕ УКАЗАНИЯ
ПО РАСЧЕТУ ТЕРМИЧЕСКОЙ УСТОЙЧИВОСТИ
ГРОВОЗАЩИТНЫХ ТРОСОВ ВОЗДУШНЫХ ЛИНИЙ
ЭЛЕКТРОПЕРЕДАЧИ

Главный инженер института

 С. Рокотян

Начальник технического отдела

 А. Зедиченко

№ 5290тм- ТІ

стр. 64

Украинское отделение института
" Энергосетьпроект "
Киевский отдел комплексного проектирования

МЕТОДИЧЕСКИЕ УКАЗАНИЯ
ПО РАСЧЕТУ ТЕРМИЧЕСКОЙ УСТОЙЧИВОСТИ
ГРЗОЗАЩИТНЫХ ТРОСОВ ВОЗДУШНЫХ ЛИНИЙ
ЭЛЕКТРОПЕРЕДАЧИ

Главный инженер ОИП

Главный специалист



В. ЛЕЖНЕВ.

Ю. ШУР.

№ 5290ГМ-ГІ

Киев - 1976

СОДЕРЖАНИЕ

	Стр.
1. Цели и задачи методических указаний и общие положения	4
2. Предварительная проверка термической устойчивости ГТ	8
3. Расчетный ток короткого замыкания и расчетные условия	7
4. Расчет токораспределения для стальных тросов	II
5. Проверка стальных тросов на термическую устойчивость	12
6. Расчет токораспределения для сталеалюминиевых тросов	14
7. Проверка сталеалюминиевых тросов на термическую устойчивость	16
8. Литература	17
9. Примеры расчета термической устойчивости	18

Приложения :

1. Приложение 1. Температурные кривые стальных и алюминиевых проводников при коротких замыканиях	24
2. Приложение 2. Характеристики стальных канатов и сталеалюминиевых проводов, используемых в качестве грозозащитных тросов	26
3. Приложение 3. Допустимые по термической устойчивости значения токов короткого замыкания в зависимости от времени протекания	27
4. Приложение 4. Токораспределение в стальных грозозащитных тросах	28
5. Приложение 5. Кривые снижения тока короткого замыкания в зависимости от активного сопротивления заземления	58
6. Приложение 6. Кривые изменения некоторых тригонометрических и гиперболических функций	63

1. ЦЕЛИ И ЗАДАЧИ МЕТОДИЧЕСКИХ УКАЗАНИЙ И ОБЩИЕ ПОЛОЖЕНИЯ

1.1. За последние 10-15 лет увеличение мощности энергосистем и развитие электрических сетей привело к существенному возрастанию уровней токов короткого замыкания, и, особенно, токов однополюсных коротких замыканий в сетях 110 кВ и выше.

В связи с этим значительно возросла вероятность повреждения грозозащитных тросов /ГТ/ воздушных линий электропередачи /ВЛ/ термическим воздействием токов однополюсных к.з. при перекрытиях изоляции ВЛ.

1.2. Целью настоящей работы является обобщение и конкретизация существующих методов расчета распределения тока к.з. в тросах и проверки тросов на термическую устойчивость и приведение их в форму, удобной для практических расчетов.

1.3. Методические указания не содержат рекомендаций о способах обеспечения необходимой термической устойчивости тросов, если принятое в проекте или существующее на ВЛ фактическое сечение ГТ оказывается недостаточным. Такие способы должны выбирать, исходя из конкретных условий, и на основании технико-экономических и других соображений. При этом, в случае если при расчете потребуются значительное увеличение сечения ГТ / в т.ч. и замена стального ГТ проводящим / на каком-либо участке ВЛ, необходимо оценить вероятность расчетного значения тока к.з. и длину такого участка по отношению ко всей длине ВЛ по [Л.9].

1.3. На основании п.11-5-43 ПУЭ 1966 г., а также [Л.2,3,4] при разработке настоящих указаний приняты следующие исходные положения:

1.3.1. Проверка ГТ на термическую устойчивость производится для ВЛ в сети с большим током замыкания на землю, т.е. на напряжении 110 кВ и выше.

І.3.2. Проверка производится для случая к.з. на концевых опорах ВЛ [п.П-5-43 л.І], а также на смежных с ними опорах. Кроме того проверка должна быть произведена для случаев к.з. на опорах ВЛ смежных с опорами, на которых изменяется сечение IT /например переход от подхода с большим сечением IT к линии с меньшим сечением IT/, а также для случаев к.з. на опорах, на которых заканчивается заземленный подход IT и начинается участок с изолированным IT.

І.3.2. На участках ВЛ с изолированным в соответствии с п.П-5-78 ПУЭ 1966 г. креплением троса проверка на термическую устойчивость не производится.

І.3.4. Поскольку на участках ВЛ с заземленным IT сопротивление заземления опор и сопротивления IT не оказывают, как правило, заметного влияния на ток однополюсного к.з., распределение токов в IT рассчитывается по полученным независимо значениям тока к.з.

І.3.5. В случае проверки стальных IT учитываются только активные сопротивления элементов расчетной схемы и распределение только свободной составляющей (см.п.3.4) тока к.з.

І.3.6. В случае проверки сталеалюминиевых или алюминиевых IT учитываются полные /комплексные значения/ элементов расчетной схемы, а также распределение вынужденных и свободных составляющих тока к.з. /п.3.4./.

І.3.7. Расчетным видом повреждения является однополюсное к.з. на опоре ВЛ. При перекрытии с провода на трос в пролете /например, при пляске или сбросе гололеда/ повреждения IT от прямого воздействия дуги не могут быть определены расчетом, а значения токов к.з. в IT, определяющие его термическую устойчивость, не будут существенно отличаться от расчетных при повреждении на опоре.

1.3.8. Предполагается, что сечение ТТ, значения сопротивлений опор и сопротивлений контуров заземления подстанций и опор определены при разработке проекта ВЛ или известны, если проверяется сечение троса на существующей линии.

2. ПРЕДВАРИТЕЛЬНАЯ ПРОВЕРКА ТЕРМИЧЕСКОЙ УСТОЙЧИВОСТИ ТТ

2.1. Термическая устойчивость ТТ определяется величиной и временем протекания тока к.з. В соответствии с п. I-4-6 и I-4-8 ПУЭ 1966 г. при проверке проводников на термическую устойчивость расчетный ток к.з. принимается для наиболее тяжелых условий, а расчетное время — как полное время отключения основной защиты / с учетом АПВ/.

2.2. Для предварительной проверки термической устойчивости ТТ определяются по данным "Схемы развития энергосистемы" максимальные токи однополюсного к.з. на шинах РУ тех объектов, к которым присоединяется проектируемая или проверяемая существующая линия с учетом перспективы развития сети. По данным проектов релейной защиты или предварительным соображениям определяется полное время отключения, наличие и кратность АПВ. При этом время отключения при наличии АПВ определяется, как сумма полных времен отключения в каждом цикле АПВ.

2.3. По полученным значениям тока к.з. $/I_k = 3I_n/$ и времени отключения $/t/$ из таблиц приложения 3 проверяется сечение ТТ. Если сечение ТТ оказывается достаточным $/I_k$ меньше допустимого при данном $t/$ дальнейших расчетов проводить не требуется.

2.4. В противном случае $/I_k$ больше допустимого / выполняется расчет распределения т.к.з. в ТТ, проверка сечения, и при недостаточной термической устойчивости ТТ по уточненным величинам к.з. проектные решения должны быть изменены и вновь подвергнуты проверке.

3. РАСЧЕТНЫЙ ТОК КОРОТКОГО ЗАМЫКАНИЯ И РАСЧЕТНЫЕ УСЛОВИЯ

3.1. Как указано в 1.3.3. расчетный ток однополюсного к.з. для последующего определения токораспределения в ИТ и проверки их на термическую устойчивость определяется независимо от схемы заземления ИТ и опор и величин заземления. Таким образом, данные о величине т.к.з. могут быть получены из "схемы развития", проектов релейной защиты и ПА и рассчитаны специально.

При этом, т.к. в некоторых случаях возникает необходимость проверять ИТ не только на концевых опорах, но и в конце подхода к РУ и на линии, а с удалением от шин РУ значения тока быстро уменьшаются /особенно при больших начальных значениях/, необходимо также знать величины токов к.з. с концов проверяемой линии и изменение их, при перемещении точки к.з. по линии в соответствии со схемой, приведенной на рис. 1

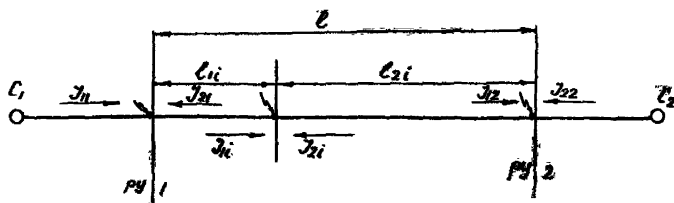


Рис. 1.

3.2. При отсутствии в имеющихся материалах данных об изменении т.к.з. при перемещении точки к.з. вдоль линии, такие значения могут быть вычислены на ЭВМ по типовой программе 5906тм [1.8] или с достаточной для приближенных расчетов степенью точности получены из соотношений:

$$\bar{I}_{ii} = \frac{\bar{I}_n \bar{I}_{i2}}{\bar{I}_n \frac{\ell_{ii}}{\ell} + \bar{I}_{i2} \frac{\ell_{2i}}{\ell}} \text{ кА} / 3-1/$$
 , где $\bar{I}_n \text{ кА}$ - ток однополюсного к.з. / 3-1/ в точке i линии длиной ℓ км, притекающий от системы 1, и удаленной на ℓ_{ii} км от РУ1 и на ℓ_{2i} км от РУ2.

\bar{I}_n, \bar{I}_{i2} - то же, при к.з. на шинах РУ1 и РУ2 - эти величины должны быть известны.

Аналогично вычисляется $\bar{I}_{2i} = \frac{\bar{I}_{22} \bar{I}_{21}}{\bar{I}_{22} \frac{\ell_{2i}}{\ell} + \bar{I}_{21} \frac{\ell_{ii}}{\ell}}$ /3-2/

и полный ток однополюсного к.з. в месте повреждения равный:

$$\bar{I}_{ki} = \bar{I}_{1i} + \bar{I}_{2i} \quad /3-3/$$

3.3. В общем случае, ток однополюсного к.з. распределяется в системе трол-опора как показано на рис.2.

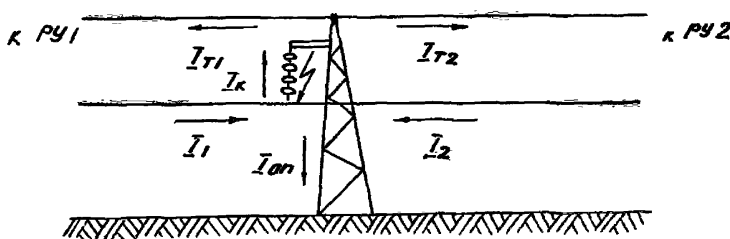


Рис.2.

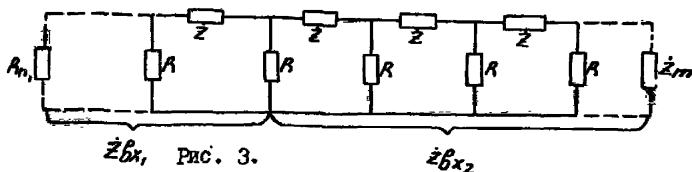
3.4. Ток в ГТ представляет собой результат наложения вынужденной составляющей, определяемой величиной индуктивной связи между ГТ и проводами ВЛ и током в гроводах, и свободной составляющей, определяемой только соотношением сопротивлений собственно тролсов, заземления опор и контуров заземлений РУ. Вынужденная составляющая имеет существенное значение только в случае ГТ из сталеалюминиевых или других проводов с высокой проводимостью, а в случае ГТ из стальных канатов может не учитываться. Учет влияния вынужден -

ной составляющей рассмотрен в разделе 6.

3.5. Для упрощения расчетов токораспределения свободной составляющей принимается, что величины пролетов ВЛ и сопротивления заземления всех опор на участках с одним сечением ГТ имеют одно и то же среднее значение. При этом, каждая часть расчетной схемы /от опоры с к.з. в сторону РУ1 и РУ2 / представляет собой однородную цепь показанную на рис. 3, входное сопротивление которой по [Л.2]:

$$\dot{Z}_{bx} = \frac{\dot{Z}_m \dot{Z}_c + \dot{Z}_c^2 th m \dot{y}}{\dot{Z}_c + \dot{Z}_m th m \dot{y}} \quad / 3-4 / , \text{ где}$$

$$\dot{Z}_c = \sqrt{\dot{Z} R} \quad / 3-5 / , \quad \dot{y} = \sqrt{\frac{\dot{Z}}{R}} \quad / 3-6 /$$



th - гиперболический тангенс/см. приложение 6/;

m - число пролетов однородного участка ВЛ /до портала РУ или до участка ВЛ с другими параметрами R и \dot{Z} ;

R - сопротивление заземления опоры, Ом;

\dot{Z} - сопротивление пролета ГТ, Ом;

\dot{Z}_m - сопротивление, на которое замкнута однородная линия /на - пример, сопротивление заземления РУ- R_n , или сопротивление \dot{Z}_c участка с другими значения \dot{Z} и R /.

При больших значениях m , когда $th m \dot{y} = 1,0$ $\dot{Z}_{bx} = \dot{Z}_c$, не-зависимо от величины \dot{Z}_m . Значение m , при котором это условие выполняется, можно определить из

$$m = \frac{3R}{|\dot{Z}_c|} \quad / 3-7 /$$

3.6. Распределение свободного тока в ГТ от места повреждения

определяется по

$$\bar{I}_{r1} = \bar{I}_K \frac{\dot{Z}_n}{\dot{Z}_{B_{K1}}} \quad / 3-8 / \text{ и}$$

$$\bar{I}_{r2} = \bar{I}_K \frac{\dot{Z}_0}{\dot{Z}_{B_{K2}}} \quad / 3-9 / , \text{ где:}$$

$$\frac{1}{\dot{Z}_0} = \frac{1}{\dot{Z}_{B_{K1}}} + \frac{1}{\dot{Z}_{B_{K2}}} + \frac{1}{R} \quad / 3-10 /$$

Эти точки и являются определяющими для проверки, т.к. в следующих пролетах они быстро затухают.

3.7. Значения \dot{Z} определяются по заданной длине пролета, сечению и материалу ЛТ /см. разделы 4 и 6/, значения R определяются в соответствии с принятыми в проекте величинами сопротивления заземлений опор в зависимости от удельного сопротивления грунта и высоты опор /таблица П-5-14 ПУЭ 1966 г./. При этом следует учитывать, что для двухцепных одностоечных опор ВЛ на подходах к РУ значения R должны быть также снижены примерно в 2 раза по сравнению с нормами ПУЭ 1966 г. /Л-7, таблица 2/. Сопротивление контура заземления РУ / R_n / принимается обычно равным 0,5 Ом или задается по фактическому значению.

3.8. В случае, если расчетный участок примыкает к участку ВЛ с изолированным ЛТ или, если ЛТ изолирован от контура заземления подстанции, соответствующие значения \dot{Z}_m принимаются равными ∞ и тогда:

$$\dot{Z}_{B_K} = \frac{\dot{Z}_c}{thm\gamma} \quad /3-11/ \text{ в ту сторону ВЛ,}$$

которая примыкает к участку с $\dot{Z}_m = \infty$

4. РАСЧЕТ ТОКОРАСПРЕДЕЛЕНИЯ ДЛЯ СТАЛЬНЫХ ТРОСОВ

4.1. Как было указано в разделах I + 3 в случае подвески на ВЛ стальных ЛТ при расчете токораспределения учитывается только

свободная составляющая тока к.з. Кроме того, в формулах 3-4+3-II полные сопротивления заменяются их активными составляющими, т.е.

$\dot{Z} = Z$, где Z - активное сопротивление пролета ЛТ и соответственно

$$Z_L = \sqrt{Z R} \quad /4-1/ \quad \text{и} \quad \gamma = \sqrt{\frac{Z}{R}} \quad /4-2/.$$

4.2. Значения для различных сечений ЛТ определяются по формуле:

$$Z = \rho_{cm} \frac{L'}{S} \quad \text{Ом}, \quad /4-3/$$

где $\rho_{cm} = 0,14 \frac{\text{Ом} \cdot \text{мм}^2}{\text{м}}$ - удельное активное сопротивление стальных проводников;

L' - средняя длина одного пролета ЛТ, м

S - сечение ЛТ, мм².

Характеристики некоторых стальных канатов по ГОСТ 3063-66, используемых в качестве ЛТ, приведены в приложении 2.

4.3. Расчет токораспределения в ЛТ ВЛ с двумя тросами производится по тем же формулам, но принимается $\dot{Z} = \frac{Z}{2}$ /4-4/ и

$$\dot{I}_T = \frac{Z_0}{2Z_R} \quad /4-5/.$$

4.4. Для сокращения объема расчетов в приложении 4 приведены значения относительного распределения тока к.з. в ЛТ для наиболее характерных ВЛ при различных расчетных условиях.

4.5. При значениях $\dot{I}_K \gg 10$ кА и $Z_0 \gg 3$ Ом следует учесть снижение т.к.з. из-за влияния активного сопротивления заземлений опор и тросов. Чаще всего это происходит, когда ЛТ изолирован от подстанции или подход примыкает к линии с изолированным ЛТ. Фактическое значение \dot{I}_{kf} определяется по кривым /приложение 5/ по расчетному значению \dot{I}_K и вычисленному Z_0 и используется в дальнейших расчетах. Кривые построены по соотношению:

$$\dot{I}_{kf} = \frac{\dot{I}_K U_H}{\sqrt{3 \dot{I}_K^2 R^2 + U_H^2}} \quad /4-6/$$

где $\bar{I}_K = 3\bar{I}_0$ - расчетное значение тока к.з., кА

U_n - номинальное напряжение, кВ

R - активная составляющая Z_0 , Ом.

5. ПРОВЕРКА СТАЛЬНЫХ ТРОСОВ НА ТЕРМИЧЕСКУЮ УСТОЙЧИВОСТЬ

5.1. При протекании по ГТ тока к.з. происходит нагрев троса. Так как действие тока к.з. кратковременно /до I_c /, принимается, что выделяемое тепло не рассеивается и полностью идет на нагрев.

5.2. В качестве расчетного тока принимается полный ток однополюсного к.з. в месте повреждения /установившееся значение/, протекающий в ГТ и определенный для проверяемого пролета по формулам 3-8, 3-9 или 4-5 /при двух тросах/.

5.3. Как указано в 2.1 и 2.2 продолжительность действия т.к.з. определяется как полное время отключения равное

$$t = t_{p.z.} + t_{\theta} \quad /5-1/$$

где $t_{p.z.}$ - собственное время действия релейной защиты и

t_{θ} - собственное время выключателя.

При установке на линии быстродействующих защит и современных выключателей полное время отключения принимается равным $t = 0,15$ с, а для токовых защит $t = 0,2 + 0,25$ с.

5.4. При наличии АПВ и одностороннем питании ВЛ полное время действия тока к.з. определяется как сумма полных времен отключения в каждом цикле АПВ /в предположении, что в бестоковую паузу охлаждения троса не происходит./.

5.5. При двухстороннем питании и неодновременном отключении к.з. с разных сторон ВЛ расчетное время отключения полного тока к.з. определяется из

$$t = t_1 + \left(\frac{I_2}{I_K} \right)^2 (t_2 - t_1) \quad /5-2/$$

где t_1 - полное время отключения со стороны ближайшего конца линии;

t_2 - тоже, с удаленного конца, I_K - полный ток к.з.кА,
 I_2 - ток к.з. от удаленного конца ВЛ, кА.

5.6. Аналогично определяется расчетное время, если АПВ происходит вначале с одного конца линии:

$$t = t_1 + \sqrt{\frac{I_2}{I_K}} t_2 \quad / 5-3/$$

где t_1 - расчетное время отключения полного тока к.з., определенное по /5-1/ или /5-2/; t_2 - время отключения после неуспешного АПВ; I_K - полный ток к.з., I_2 - ток к.з. с того конца линии, где происходит АПВ.

5.7. Допустимый для данного сечения ГТ при времени действия ток к.з. определяется из:

$$I_{K доп.} = \frac{S \cdot 10^{-3}}{\sqrt{\frac{t}{A_D - A_0}}} \text{ кА} \quad / 5-4 /$$

S - сечение ГТ, мм², A_0 - величина, являющаяся функцией температуры ГТ до к.з., A_D - то же, после к.з. /Л.6/. Величины A_0 и A_D определяются по кривой для стали /приложение 1/ для начальной температуры $D_0 = 25^\circ\text{C}$ и конечной допустимой для стальных проводников температуры $D_K = 400^\circ\text{C}$ [Л.1].

В приложении 3 приведены значения допустимых токов к.з. для различных сечений ГТ в зависимости от времени действия.

5.8. Полученное значение $I_{K доп.}$ сравнивается с большим значением расчетного тока к.з. в ГТ /п.5.2/. Если $I_r < I_{K доп.}$, ГТ термически устойчив к т.к.з. В противном случае, после изменения исходных условий, проверка должна быть повторена.

6. РАСЧЕТ ТОКОРАСПРЕДЕЛЕНИЯ ДЛЯ СТАЛЕАЛЮМИНОВЫХ ТРОСОВ

6.1. При расчете токораспределения для сталеалюминевых тросов необходимо учитывать как индуктивные сопротивления ГТ, так и распределение вынужденного тока, вызываемого наличием взаимной индукции между проводами ВЛ и ГТ.

6.2. Значения токов к.з. в ГТ /рис.2/ определяются из [Л.3] :

$$I_{T1} = (1-\dot{p}) \bar{I}_1 + \dot{p} \bar{I}_K \frac{\dot{Z}_0}{\dot{Z}_{\delta K1}} \quad /6-1/;$$

$$\bar{I}_{T2} = (1-\dot{p}) \bar{I}_2 + \dot{p} \bar{I}_K \frac{\dot{Z}_0}{\dot{Z}_{\delta K2}} \quad /6-2/, \text{ где}$$

$$\dot{p} = 1 - \frac{Z_3 + j X_{HT}}{Z_3 + Z_T + j X_T} \quad /6-3/ - \text{ безразмерный коэффициент, определяющий влияние взаимной индукции между проводами ВЛ и ГТ.}$$

$Z_3 = 0,05 \text{ Ом/км}$ - сопротивление растекания тока в земле для $f = 50 \text{ Гц}$;

Z_T - активное сопротивление ГТ, Ом/км;

$X_{HT} = 0,145 \lg \frac{A_3}{a_{HT}}$ - сопротивление взаимной индукции между проводами ВЛ и ГТ Ом/км; /6-4/, где

$A_3 = 935 \sqrt{\rho}$ /6-5/, глубина возврата тока, где ρ удельное сопротивление земли, Ом.м..

a_{HT} - эквивалентное расстояние между проводами и тросом, м; для трехпроводной линии;

$$a_{HT} = \sqrt[3]{a_{HT1} \cdot a_{HT2} \cdot a_{HT3}} \quad /6-6/,$$

где a_{HT1} , a_{HT2} , a_{HT3} - расстояние между каждым из проводов одной цепи ВЛ и ГТ, м.

$X_T = 0,145 \left[\lg \frac{2A_3}{d_T} + 0,016 \right]$ /6-7/ индуктивное сопротивление ГТ, Ом/км;

A_3 - по /6-5/; d_T - диаметр ГТ, м,

$\dot{Z}_{\delta K1}$, $\dot{Z}_{\delta K2}$ и \dot{Z}_0 вычисляются по /3,6/ с учетом комплексного значения

ния $\dot{Z} = (Z_3 + Z_T + j X_T) \ell'$ /6-8/, где

Z_3 , Z_T , X_T - по /6-3; 6-7/, ℓ' - длина пролета, км.

6.3. Для двухцепной ВЛ значения "Р" обычно одинаковы для ка-

каждой цепи, если же цепи несимметричны по отношению к ГТ, расчет выполняется для каждой цепи отдельно.

6.4. Для ВЛ с двумя ГТ в формулы / 6-4; 6-7/ вводится средний геометрический диаметр ГТ / Л.5/:

$$d_{гг} = \sqrt{2 d_{гг} \cdot a_{гг}} \quad , / 6-9/ : \text{где } d_{гг} - \text{диаметр ГТ, м;}$$

$a_{гг}$ - расстояние между ГТ, м.

Коэффициент "р" и сопротивление "Z" в этом случае равны:

$$\rho = 1 - \frac{z_3 + j x_{гг}}{z_3 + 0,5 z_{гг} + j x_{гг}} \quad / 6-10/$$

$$Z = (z_3 + 0,5 z_{гг} + j x_{гг}) e' \quad / 6-11/, \text{ а}$$

$$\bar{I}_1 = \frac{(1-\rho) \bar{I}_1 + \rho \bar{I}_k \frac{z_0}{z_{гг1}}}{2} \quad / 6-12/$$

$$\bar{I}_2 = \frac{(1-\rho) \bar{I}_2 + \rho \bar{I}_k \frac{z_0}{z_{гг2}}}{2} \quad / 6-13/$$

6.5. В случаях, когда сталеалюминиевый ГТ используется для в.ч. каналов связи или защиты и заземлен только по концам участка через дроссели, расчет токораспределения производится по приведенным выше формулам, как для однопролетной ВЛ с длиной пролета e' равной длине участка. Если же такой ГТ заземлен и на каждой анкерной опоре, то за длину пролета e' принимается усредненная длина анкерного пролета, а за число пролетов m - количество анкерных пролетов, Сопротивлением дросселей в расчетах можно пренебрегать.

7. ПРОВЕРКА СТАЛЕАЛЮМИНИЕВЫХ ТРОСОВ НА ТЕРМИЧЕСКУЮ УСТОЙЧИВОСТЬ

7.1. Проверка производится аналогично проверке стальных ГТ, как изложено в разделе 5. Так как определяющим является нагрев алюминиевой части ГТ, проверяется только сечение алюминия. Формула /5-4/ при этом преобразуется в:

$$\bar{I}_{к доп} = \frac{S_a / (\rho_a + c \rho_{см}) \cdot 10^{-3}}{c \rho_{см} \sqrt{\frac{2}{A_D - A_a}}} \quad \text{кА} \quad / 7-1/$$

где $\rho_1 = 0,0263 \frac{\text{Ом} \cdot \text{мм}^2}{\text{м}^2}$ - удельное сопротивление алюминия

$\rho_{ст} = 0,14 \frac{\text{Ом} \cdot \text{мм}^2}{\text{м}^2}$ - то же, стали;

$c = \frac{S_A}{S_{ст}} / 7-2/$ - отношение сечений алюминия и стали в проводе.

Значения A_p и A_0 определяются по кривой для алюминия -/приложение 1/. При этом конечная температура $\gamma_k = 200^\circ\text{C}$ [Л.1].

Характеристики некоторых сталеалюминиевых проводов, используемых в качестве ГТ, приведены в приложении 3.

ЛИТЕРАТУРА

1. Правила устройства электроустановок, 1966 г.
2. Генон Л. и др. Определение сечений грозозащитных тросов линий электропередач с учетом их термической устойчивости. "Электричество", 1972 г., № 4 стр.17-20.
3. *Funk Gezmot. „Bezeichnung der Nullströmverteilung bei Erdkurzschluss einer Freileitung“*
„Electrotechnz.“ 1971, A9, № 2, 74-80, 23,24 /перевод в Экспресс-информации "Электрические станции, сети и системы" № 18, 1971 г., стр. 17-34/.
4. Сиромыхов Б. О термической устойчивости грозозащитных тросов линии электропередачи при однофазных коротких замыканиях. "Электрические станции" № 6, 1975 г., стр.56-59.
5. С.А.Ульянов. Электромагнитные переходные процессы. М.1970 г.
6. Электрическая часть станций и подстанций, под ред.А.А. Глазунова, М.Л.1951 г.
7. Руководящие указания по защите подстанций 3-500 кВ от прямых ударов молнии и грозовых волн, набегających с линий электропередачи. М-1973 г.
8. Программа расчета и построения графика распределения утроенного тока нулевой последовательности при однофазном к.з. по длине линии электропередачи. Инв.№ 5906 тм. Горьковское отд. ЭСП, 1971 г.
9. Вероятности коротких замыканий с токами расчетных значений. Инв.№ 7489 тм-т3. ЭСП, 1975 г.

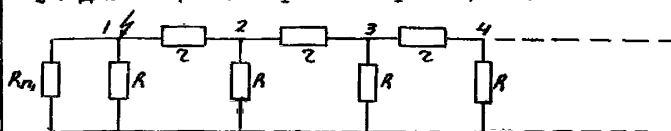
ПРИМЕРЫ РАСЧЕТА ТЕРМИЧЕСКОЙ УСТОЙЧИВОСТИ ТРОСОВАЩИТНЫХ ТРОСОВ

1.1. Исходные данные: ВЛ 110 кВ п/ст -I -п/ст - 2 одноцепная, 50 км, средняя длина пролета на подходе к п/ст I-200 м, трос ТК-70, токи однополюсного к.з. по данным проекта релейной защиты в начале линий $\underline{I}_K = 30$ кА, $\underline{I}_1 = 25$ кА, $\underline{I}_2 = 5$ кА, длина подхода 2000 м, т.к.з. в конце подхода $\underline{I}_K = 22$ кА, $\underline{I}_1 = 16$ кА, $\underline{I}_2 = 6$ кА, сопротивление заземления опор $R = 10$ ом, сопротивление заземления контура п/ст I-0,50м, полное время отключения $t = 0,15$ с, однократное АПВ, первое включение со стороны п/ст - 2.

1.2. Предварительная проверка /в соответствии с разделом 2/: полное время отключения с учетом АПВ - $t = 2 \times 0,15 = 0,3$ с

по приложению 3 для троса ТК-70 и $t = 0,3$ с $\underline{I}_K \text{ доп.} = 9,7$ кА меньше $\underline{I}_K = 30$ кА, трос термически неустойчив, требуется выполнить расчет.

1.3. Расчет токораспределения / в соответствии с разделами 3 и 4/. Для конечной опоры со стороны п/ст I схема замещения:



$$\text{по / 4-3/ } z = 0,14 \frac{200}{72,6} = 0,39 \text{ Ом; по /4-1/}$$

$$Z_c = \sqrt{10 \cdot 0,39} = 1,97 \text{ Ом.}$$

$$\text{по /4-2/ } \gamma = \frac{\sqrt{0,39}}{10} = 0,197 ;$$

$R_n = 0,5$ Ом / сопротивлением троса в пролете между первой опорой и подстанцией пренебрегаем, т.к. пролет порядка 30-50 м и в пролете 2 троса до портала/.

$Z_{\beta_{K2}} = Z_c = 1,97 \text{ Ом} / \text{ т.к. далее линия однородная и число пролетов по /3-2/ более}$

$$m = \frac{30}{1,97} = 15 \quad /3-II/$$

$$\frac{I}{Z_0} = \frac{I}{0,5} + \frac{I}{10} + \frac{I}{1,97} = 2,607; \quad Z_0 = 0,392 \text{ Ом}$$

по /3-9/ и /3-10/

$$I_{T1} = 30 \frac{0,392}{0,5} = 23,5 \text{ кА} - \text{ток в IT в сторону ц/ст I}$$

$$I_{T2} = 30 \frac{0,392}{1,97} = 6,0 \text{ кА} - \text{ток в IT в сторону ц/ст 2/}$$

/ или по приложению 5 для ТК-70, $\ell' = 200 \text{ м}$, $R = 10 \text{ Ом}$, относительное токораспределение $I'_{T1} = 0,78$, $I'_{T2} = 0,20$ и соответственно

$$I_{T1} = 30 \cdot 0,78 = 23,4 \text{ кА}, \quad I_{T2} = 30 \cdot 0,2 = 6,0 \text{ кА/}$$

1.4. С учетом АПВ со стороны ц/ст - 2 по /5-3/

$$\epsilon = 0,15 + \frac{(5,1)^2}{30}, \quad 0,15 = 0,154 \text{ с}$$

1.5. Т.к. в сторону портала ц/ст-I от первой опоры два троса, ток в каждом $I_T = \frac{23,5}{2} = 11,75 \text{ кА}$

1.6. Допустимый ток при $\epsilon = 0,154$ по /5-4/

$$I_{\text{доп}} = \frac{72,6 \cdot 10^{-3}}{\sqrt{\frac{0,154}{0,5 \cdot 10^4 - 0,07 \cdot 10^4}}} = 12,0 \text{ кА } 13,46 \text{ кА}$$

где $A_0 = 0,6 \cdot 10^4$ - для 400°C

и $A_0 = 0,07 \cdot 10^4$ - для 25°C по приложению I.

$I_{\text{доп}} > I_{T1}$, т.е. трос в сторону ц/ст I

термически устойчив.

Ток $I_{T2} = 6 \text{ кА} < I_{\text{доп}} = 12 \text{ кА}$, трос в сторону ц/ст 2 также устойчив.

1.7. При к.з. на опоре № 2 по /3-6/

$$Z_{\text{бкз}} = \frac{Z_c Z_m + Z_c^2 \text{th } m \ell}{Z_c + Z_m \text{th } m \ell} = \frac{1,97 + 0,5 + 3,9^2 \text{th } 1,0,197}{1,97 + 0,5 \cdot \text{th } 1,0,197} = 0,845 \text{ Ом}$$

0,085330418

где $Z_c = \sqrt{Rz} = 1,97 \text{ Ом}$

$Z_m = R_{m1} = 0,5 \text{ Ом}$

$m = 1$ /один пролет от опоры 2 до опоры 1/

$\beta = 0,197 \quad \text{thm}\beta = 0,19$ / по приложению 6/

$Z_c = 1,97 \text{ Ом}$ /см. выше п. 3. β ./

$$\frac{1}{Z_0} = \frac{1}{0,845} + \frac{1}{10} + \frac{1}{1,97} = 1,786; \quad Z_0 = 0,56 \text{ Ом}$$

$$I_{r1} = 30 \frac{0,56}{0,845} = 19,8 \text{ кА}; \quad I_{r2} = 30 \frac{0,56}{1,97} = 8,4 \text{ кА}$$

/или по приложению 5 $I'_{r1} = 0,66$ и $I'_{r2} = 0,28$ и $I_{r1} = 30 \cdot 0,66 = 19,8 \text{ кА};$
 $I_{r2} = 30 \cdot 0,28 = 8,4 \text{ кА} / \text{т.к. } I_{r1} > I_{r2} = 12,0 \text{ кА},$

ГТ ТК-70 в пролете 1-2 термически неустойчив.

2.1. Те же исходные данные, но на подходе длиной 2000 м в качестве ГТ подвешен провод АС-95/16, на остальной линии - ТК-70.

$\rho = 100 \text{ Ом.м}$ - удельное сопротивление грунта.

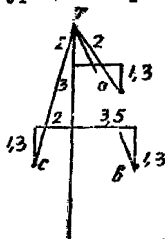
2.2. Предварительная проверка /см. пример 1/

$\tau = 0,3 \text{ с}$, для этого времени и провода АС-96/16 $I_{к доп} = 20,1 \text{ кА}$
 / по приложению 3/, ГТ термически неустойчив, проводится расчет.

2.3. Рассчитываются параметры ГТ на подходе. По приложению 2 определяем $Z_r = 0,299 \text{ Ом/км}$, $d_r = 0,0135 \text{ м}$, по /6-5/

$$A_3 = 93,5 \quad \sqrt{100} = 935.$$

Конфигурация опоры и расстояния:



$$\sigma_{пост} = 3,85 \text{ м}$$

$$\sigma_{обст} = 7,22 \text{ м}$$

$$\sigma_{мст} = 6,6 \text{ м}$$

$$\sigma_{пр} = \sqrt[3]{3,85 \cdot 7,22 \cdot 6,6} = 5,68 \text{ м}$$

по /6-7/

$$x_r = 0,145 \left[\lg \frac{2 \cdot 935}{0,0135} + 0,016 \right] = 0,769 \text{ Ом/км}$$

по /6-5/ $x_{пр} = 0,145 \lg \frac{935}{5,68} = 0,32 \text{ Ом/км}$

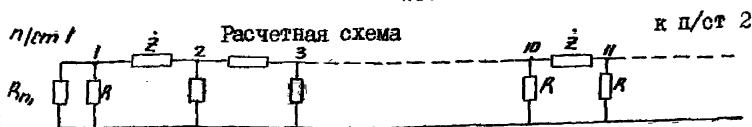
$$\text{по } /6-8/ \quad \dot{z} = 0,05 + 0,299 + j 0,759 / 0,2 = 0,167 e^{j 65^{\circ} 20'}$$

$$\text{по } /6-3/ \quad \dot{p} = I - \frac{0,05 + j 0,32}{0,05 + 0,299 + j 0,759} = I - 0,396 e^{j 15^{\circ} 45'} = 0,636 e^{j 190^{\circ}}$$

$$\text{по } /3-7/ \quad \dot{z}_c = \sqrt{\dot{z} R} = \sqrt{0,167 e^{j 65^{\circ} 20'} \cdot 10} = 1,275 e^{j 32^{\circ} 40'}$$

$$\text{по } /3-8/ \quad \dot{y} = \sqrt{\frac{\dot{z}}{R}} = 0,127 e^{j 32^{\circ} 40'}$$

$$\text{число пролетов на подходе } m = \frac{2000}{200} = 10$$



При к.з. на опоре № 2

$$\text{по } /3-6/ \quad \dot{z}_{6x} = \frac{\dot{z}_c \dot{z}_{m_1} + \dot{z}_c^2 \operatorname{th} m_1 \dot{y}}{\dot{z}_c + \dot{z}_{m_1} \operatorname{th} m_1 \dot{y}}$$

где $m_1 = I$ и

$$\dot{z}_{m_1} = R_n = 0,5 \text{ Ом}$$

и

$$\dot{z}_{6x_2} = \frac{\dot{z}_c \dot{z}_{m_2} + \dot{z}_c^2 \operatorname{th} m_2 \dot{y}}{\dot{z}_c + \dot{z}_{m_2} \operatorname{th} m_2 \dot{y}}, \text{ где}$$

$$m_2 = 9, \quad \dot{z}_{m_2} = 1,97 \text{ Ом / см. пример I,}$$

$$\dot{z}_{m_2} = \dot{z}_c \text{ длиной однородной линии с тросом ТК-70/}$$

$$\text{Вычисление необходимо, т.к. } m = \frac{3R}{|\dot{z}_c|} = \frac{3 \cdot 10}{1,275} \approx 25 > 10$$

$$\dot{z}_{6x} = \frac{1,275 e^{j 32^{\circ} 40'} \cdot 0,5 + 1,63 e^{j 65^{\circ} 20'} \operatorname{th} 0,127 e^{j 32^{\circ} 40'}}{1,275 e^{j 32^{\circ} 40'} + 0,5 \operatorname{th} 1 \cdot 0,127 e^{j 32^{\circ} 40'}} \quad 32^{\circ} 40' / \text{прил. 6/}$$

$$= \frac{0,84 e^{j 55^{\circ} 40'}}{1,39 e^{j 44^{\circ} 40'}} = 0,602 e^{j 11^{\circ}}$$

$$\dot{z}_{6x_2} = \frac{1,275 e^{j 32^{\circ} 40'} \cdot 1,97 + 1,63 e^{j 65^{\circ} 20'} \operatorname{th} 9 \cdot 0,127 e^{j 32^{\circ} 40'}}{1,275 e^{j 32^{\circ} 40'} + 1,97 \operatorname{th} 9 \cdot 0,127 e^{j 32^{\circ} 40'}} =$$

$$= \frac{3,38 e^{j 53^{\circ} 20'}}{2,93 e^{j 23^{\circ} 50'}} = 1,152 e^{j 29^{\circ} 30'}$$

$$\text{по } /3-II/ \quad \frac{I}{Z_0} = \frac{I}{0,602 e^{j11^\circ}} + \frac{I}{1,152 e^{j29^\circ 30'}} + \frac{I}{10} = 2,66 e^{j16^\circ 15'}$$

$$Z_0 = 0,376 e^{j16^\circ 15'}$$

по / 6-I/ и /6-2/

$$\begin{aligned} \underline{I}_{T1} &= (1 - 0,636 e^{j9^\circ 30'}) \cdot 25 + 0,636 e^{j9^\circ 30'} \cdot \frac{0,376 e^{j16^\circ 15'}}{0,602 e^{j11^\circ}} \cdot 30 = \\ &= 21,15 e^{j35^\circ} \end{aligned}$$

Полное время отключения с учетом АПЭ $t = 0,154$ /см. пример I/.

Для этого времени:

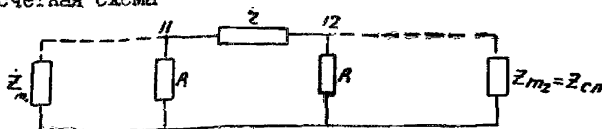
$$\underline{I}_{k2 \text{ дм}} = \frac{95,4 / 0,0263 + \frac{95}{16} \cdot 0,14 / 10^{-3}}{16} = 26,5 \text{ кА}$$

$$\frac{95,4}{16} \cdot 0,14 \sqrt{\frac{0,154}{1,31 - 0,2 / 10^4}}$$

$\underline{I}_{T1} = 21,15 \text{ кА}$, следовательно трос АС-95/16 термически устойчив.

2.4. Проверка ИТ ТК-70 за подходом

Расчетная схема



Большим будет ток \underline{I}_{T1} в сторону ц/ст I при к.з. на опоре № 12 - /второй опоре от конца подхода в сторону линии /

$$\underline{Z}_{Bn} = \frac{Z_{cn} Z_m + Z_0^2 \operatorname{th} m_l \gamma_l}{Z_{cn} + Z_m \operatorname{th} m_l \gamma_l}$$

где $m_l = l$

$$Z_{cn} = 1,97 \text{ Ом}$$

$$\gamma_l = 0,197 / \text{см. пр. I/}$$

$$\begin{aligned} \underline{Z}_{Bn} &= \frac{1,275 e^{j32^\circ 40'} \cdot 0,5 + 1,63 e^{j65^\circ 20'} \operatorname{th} 10 \cdot 0,127 e^{j32^\circ 40'}}{1,275 e^{j32^\circ 40'} + 0,5 \operatorname{th} 10 \cdot 0,127 e^{j32^\circ 40'}} \\ &= \frac{2,01 e^{j67^\circ 40'}}{1,73 e^{j27^\circ 50'}} = 1,17 e^{j39^\circ 50'} \end{aligned}$$

$$\dot{z}_{b_{x_2}} = \frac{1,97 \cdot 1,17 e^{j 39^{\circ} 50'} + 3,9 t h 1 \cdot 0,197}{1,97 + 1,17 e^{j 39^{\circ} 50'} + t h 1 \cdot 0,197} = \frac{2,94 e^{j 30^{\circ} 10'}}{2,148 e^{j 3^{\circ} 55'}} = 1,37 \cdot e^{j 26^{\circ} 15'}$$

$$\dot{z}_{b_{x_2}} = \dot{z}_{c n} = 1,97$$

$$\frac{I}{\dot{z}_0} = \frac{I}{1,37 e^{j 26^{\circ} 15'}} + \frac{I}{1,97} + \frac{I}{10} = 1,30 e^{j 14^{\circ} 20'}$$

$$\dot{z}_0 = 0,77 e^{j 14^{\circ} 20'}$$

$$\dot{I}_{T1} = 2I \frac{0,77}{1,37} = 11,8 \text{ кА, где } 2I \text{ кА - ток в точке К.З.}$$

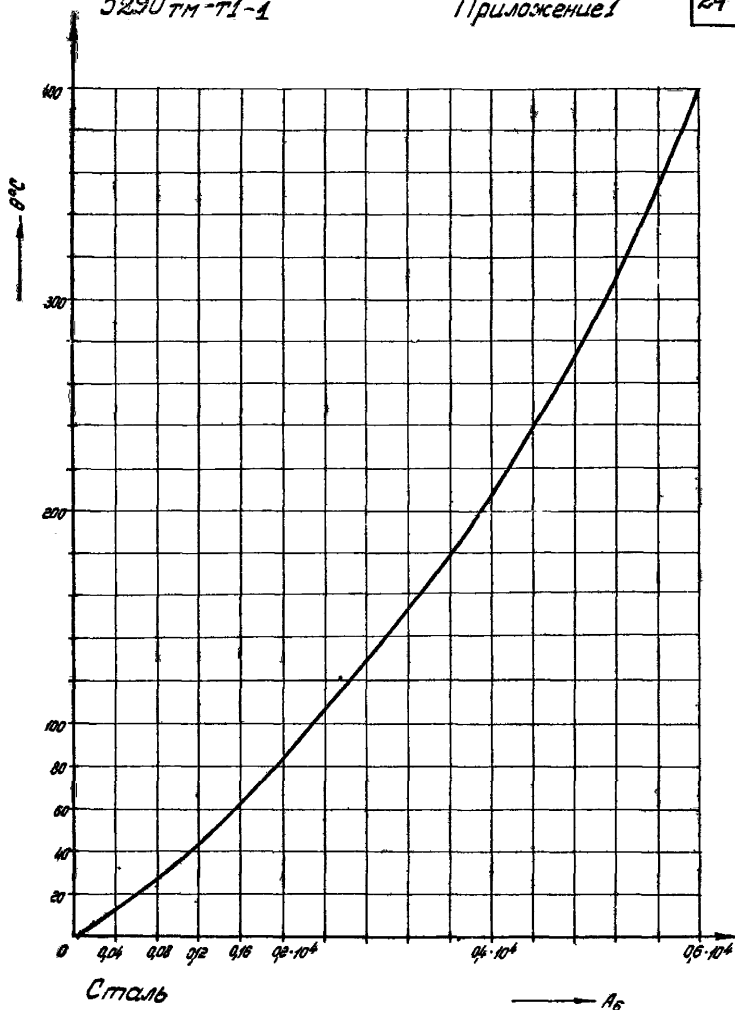
на удалении 2000 м от п/ст I.

Расчетное время с учетом АПВ в той точке составляет

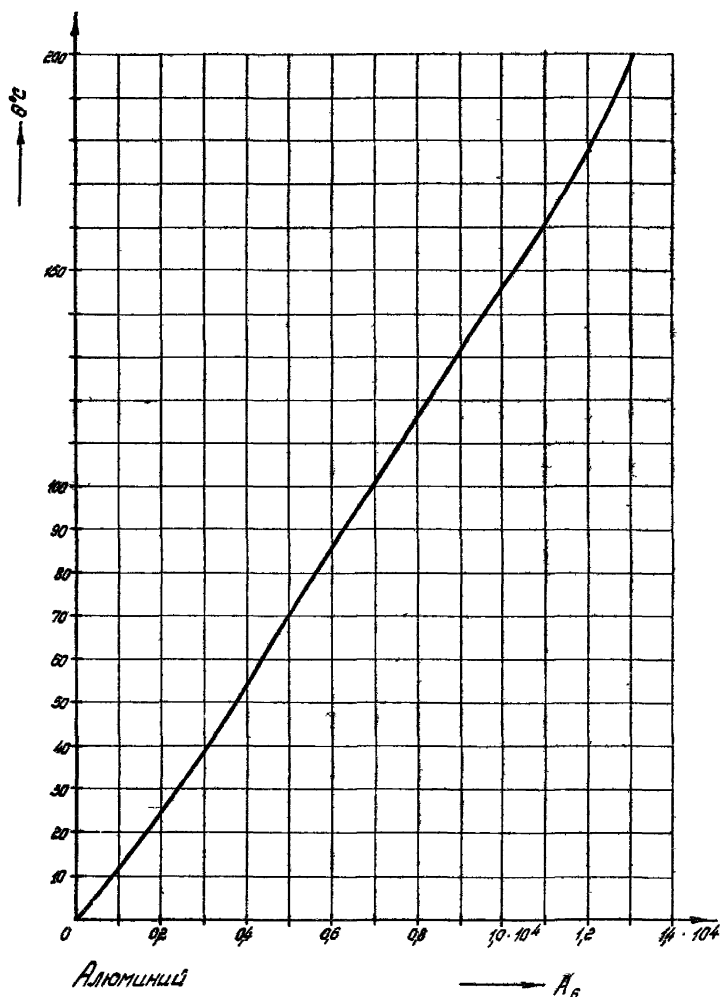
$$z = 0,15 + \left(\frac{6}{2I} \right)^2 \quad 0,15 = 0,162 \text{ с}$$

$$\text{Для этого времени } \dot{I}_{кз доп} = 11,9 \text{ кА} > \dot{I}_{T1} = 11,8 \text{ кА}$$

Таким образом, трос ТК-70 на линии термически устойчив.



Методические указания по расчету термической устойчивости грозазащитных тросов воздушных линий электропередачи
 Температурные кривые стальных и алюминиевых проводников при коротком замыкании.



Методические указания по расчету термической устойчивости грозозащитных тросов воздушных линий электропередачи
Температурные кривые стальных и алюминиевых проводников при коротком замыкании

1. Стальные канаты по ГОСТ 3063-66

Марка троса	Сечение мм ²	Диаметр м	Сопротивление растяжению троса при 20°С Ом/км
ТК-50	48,64	0,0091	2,86
ТК-70	72,53	0,011	1,92

У 2 - МЗ-В-070 - К-Р 2,33
 14,0 - МЗ-В-070 - К-Р 1,64

2. Сталеалюминиевые провода по ГОСТ 839-74

Марка провода	Сечение мм ²		Диаметр провода м	Сопротивление растяжению троса при 20°С Ом/км	Отношение сечений алюминий/сталь
	алюминий	сталь			
АС-95/16	95,4	15,9	0,0135	0,299	6,0
АС-120/19	118	18,8	0,0152	0,245	6,28
АС-150/24	148	18,8	0,0168	0,195	7,88

Методические указания по расчету термической устойчивости грозозащитных тросов воздушных линий электропередачи

Характеристики стальных канатов и сталеалюминиевых проводов, используемых в качестве грозозащитных тросов.

$$t_{\Sigma} = t_{p3} \cdot 2 + 2 \cdot t_{\text{линей}}$$

1. Для стальных канатов $I_{\text{доп}}/\text{кА}$

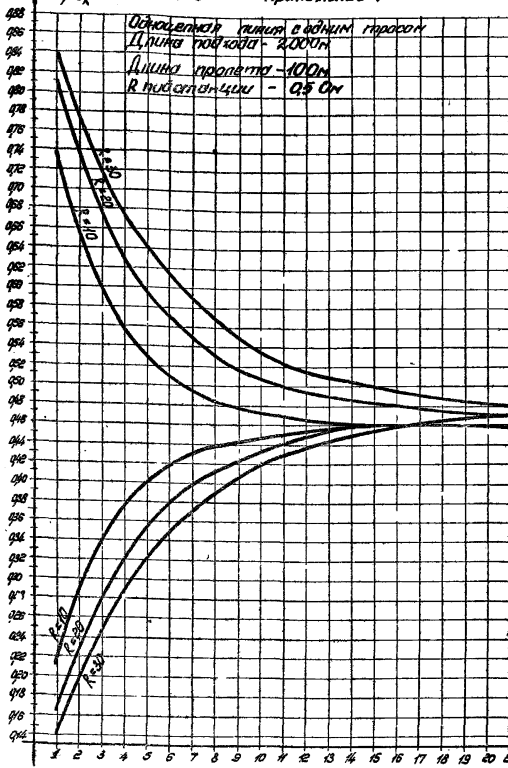
время марка (с)	0,1	0,15	0,2	0,3	0,5	0,7	0,9	1,0
ТК-50	11,2	9,2	7,9	6,5	5,0	4,2	3,7	3,6
ТК-70	16,8	13,7	11,8	9,7	7,5	6,3	5,6	5,3

ТК-70 $\varnothing 24 \text{ мм}$

2. Для сталеалюминиевых проводов $I_{\text{доп}}/\text{кА}$, с учетом распределения тока между стальной и алюминиевой частями.

время марка (с)	0,1	0,15	0,2	0,3	0,5	0,7	0,9	1,0
АС-95/16	32,8	26,8	23,1	18,9	14,6	12,4	10,9	10,3
АС-120/19	40,4	33,0	29,5	23,3	18,0	15,3	13,5	12,8
АС-150/24	50,9	41,5	36,0	29,4	22,8	19,3	17,0	16,1

Методические указания по расчету термической устойчивости разоразомитных тросов воздушных линий электропередачи
Допустимые по термической устойчивости значения токов короткого замыкания в зависимости от времени протекания.



Методические указания по расчёту термической устойчивости
 грозозащитных тросов воздушных линий электропередачи
 Токораспределение в стальных грозозащитных тросах ТК-50 и ТК-70

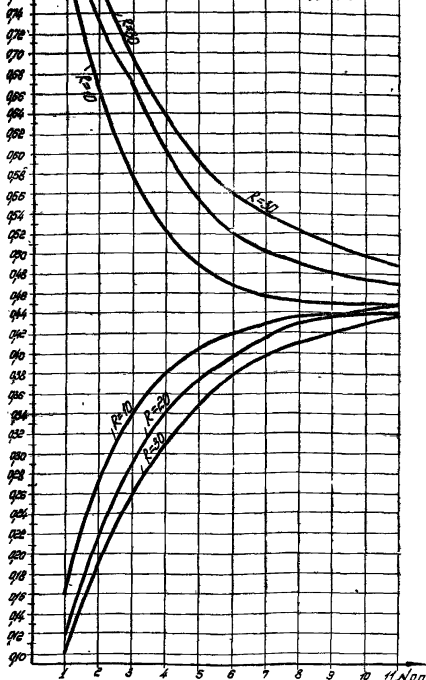
$\frac{I}{I_k}$

5290тн-11-6

Приложение 4

29

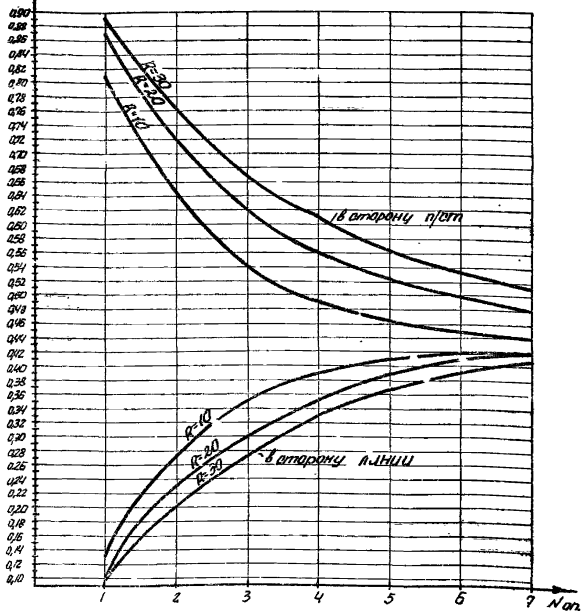
Одноцепная линия с одним тросом
Длина подвеса - 2000 м
Длина пролёта - 200 м
И подстанции - 0,5 Ом



Методические указания по расчёту термической устойчивости
арозозащитных тросов воздушных линий электропередачи

Токараспределение в стальных арозозащитных тросах ТК-50, ТК-70

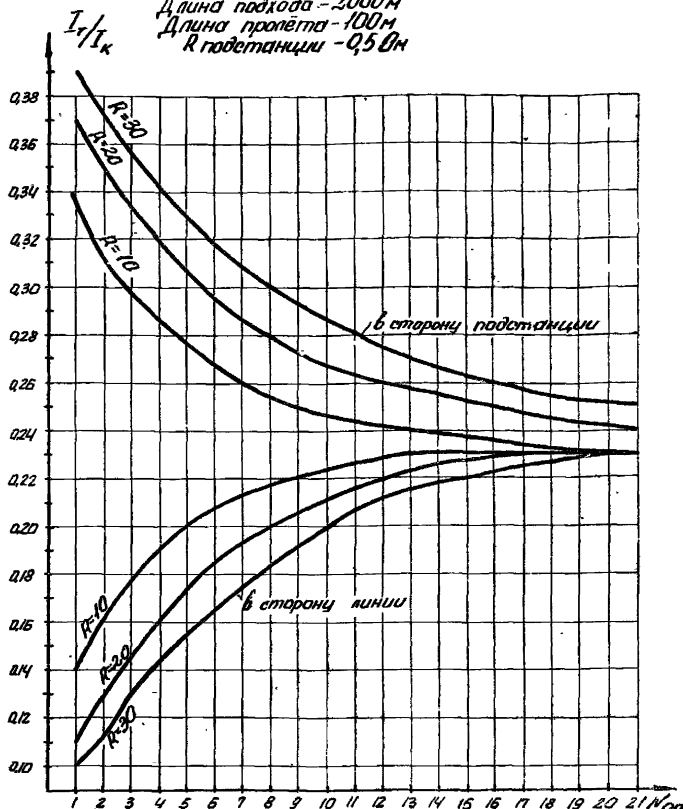
Одноцепная линия с одним тросом
 Длина подхода - 2000 м
 Длина пролёта - 300 м

 I_T/I_K
 $R \text{ подстанции} - 0,5 \text{ Ом}$


Методические указания по расчету термической устойчивости
 грозозащитных тросов линий электропередачи

Распределение ваттных грозозащитных тросов ТК-50 и ТК-70

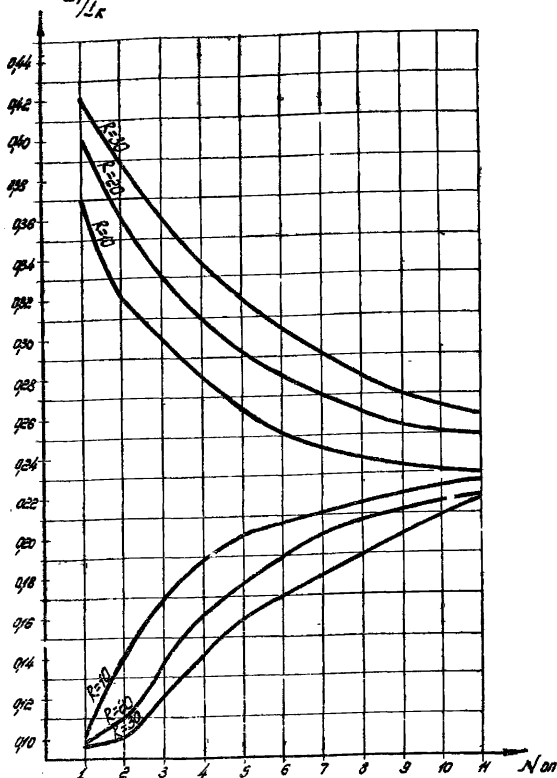
Одноцепная линия с двумя тросами
 Длина подхода - 2000 м
 Длина пролёта - 100 м
 $R_{подстанции} = 0,5 \text{ Ом}$



Методические указания по расчёту термической устойчивости
 грозозащитных тросов воздушных линий электропередачи

Токоораспределение в стальных грозозащитных тросах ТК-50, ТК-70

Общая линия с двумя тросами.
 Длина подхода - 2000 м.
 Длина пролета - 200 м.
 $R_{п/ст} = 0,50$
 I_T/I_R



Методические указания по расчёту термической устойчивости
 грозозащитных тросов воздушных линий электропередачи

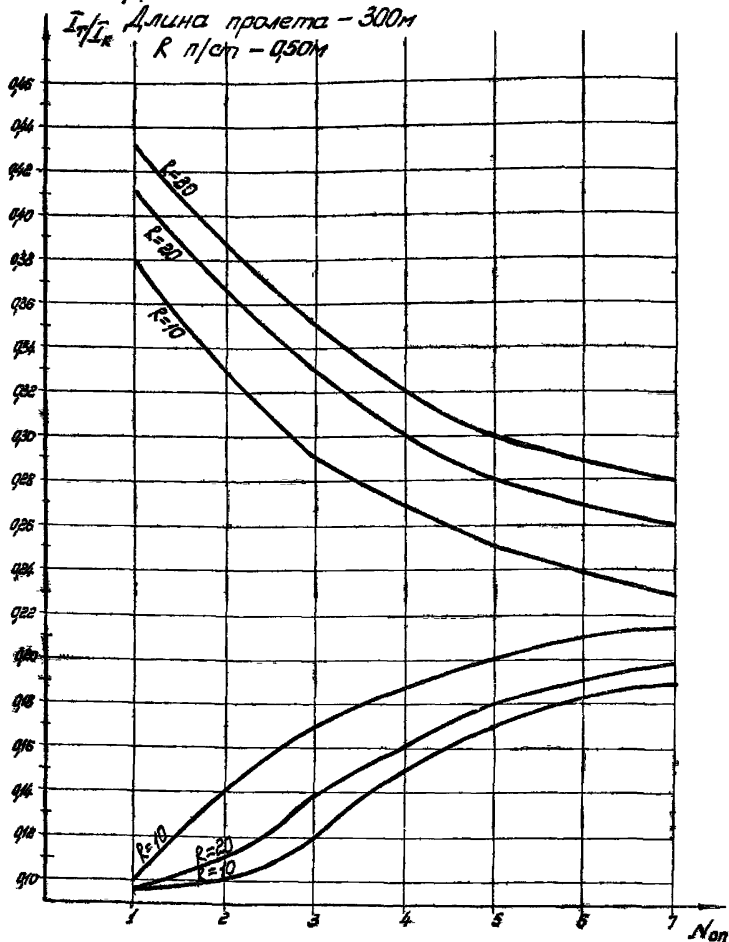
Токараспределение в стальных тросах ТК-50 и ТК-70

Одноцветная линия с двумя тросами

Длина подхода - 2000м.

Длина пролета - 300м

R п/ст - 0,50м



Методические указания по расчету термической устойчивости грозозащитных тросов воздушных линий электропередачи

Плотность распределения в стальных грозозащитных тросах ТГ-50 и ТГ-70.

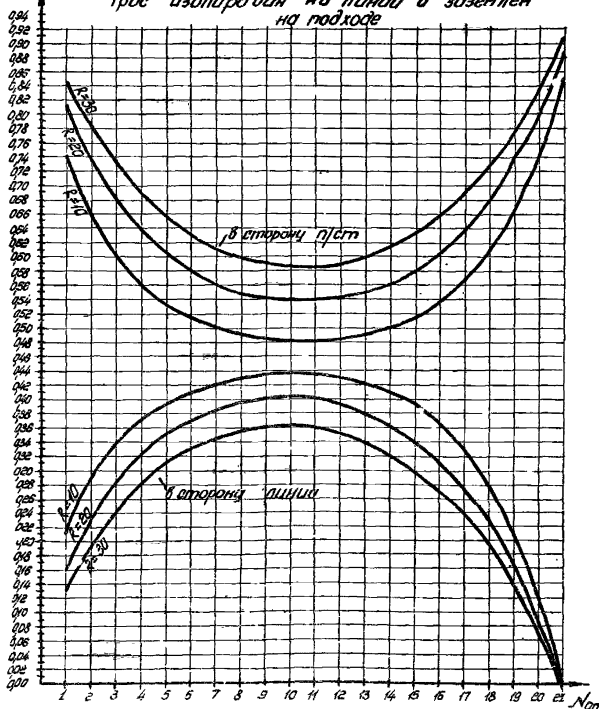
Одноцепная линия в одном тросом

Длина подхода - 2000 м

Длина пролёта - 100 м

 I_T/I_K $R_{подстанция} - 0,5 \text{ Ом}$

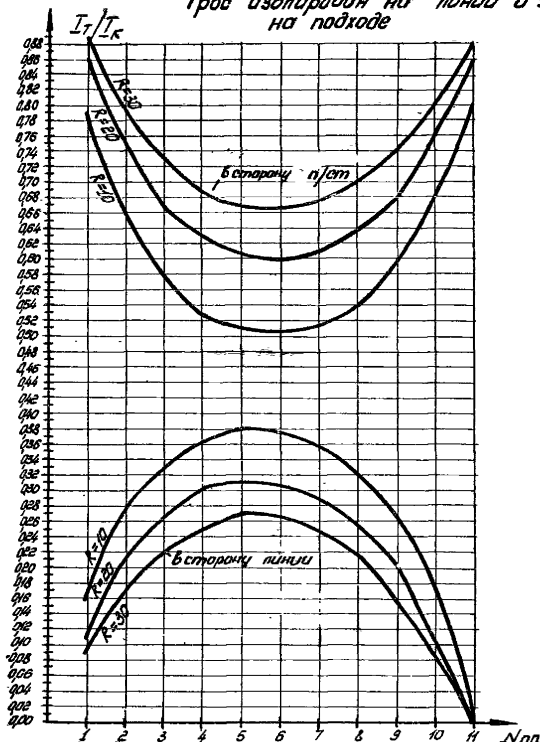
Трос изолирован на линии и заземлён на подходе

Методические указания по расчёту термической устойчивости
эрозийно-защитных тросов воздушных линий электропередачи

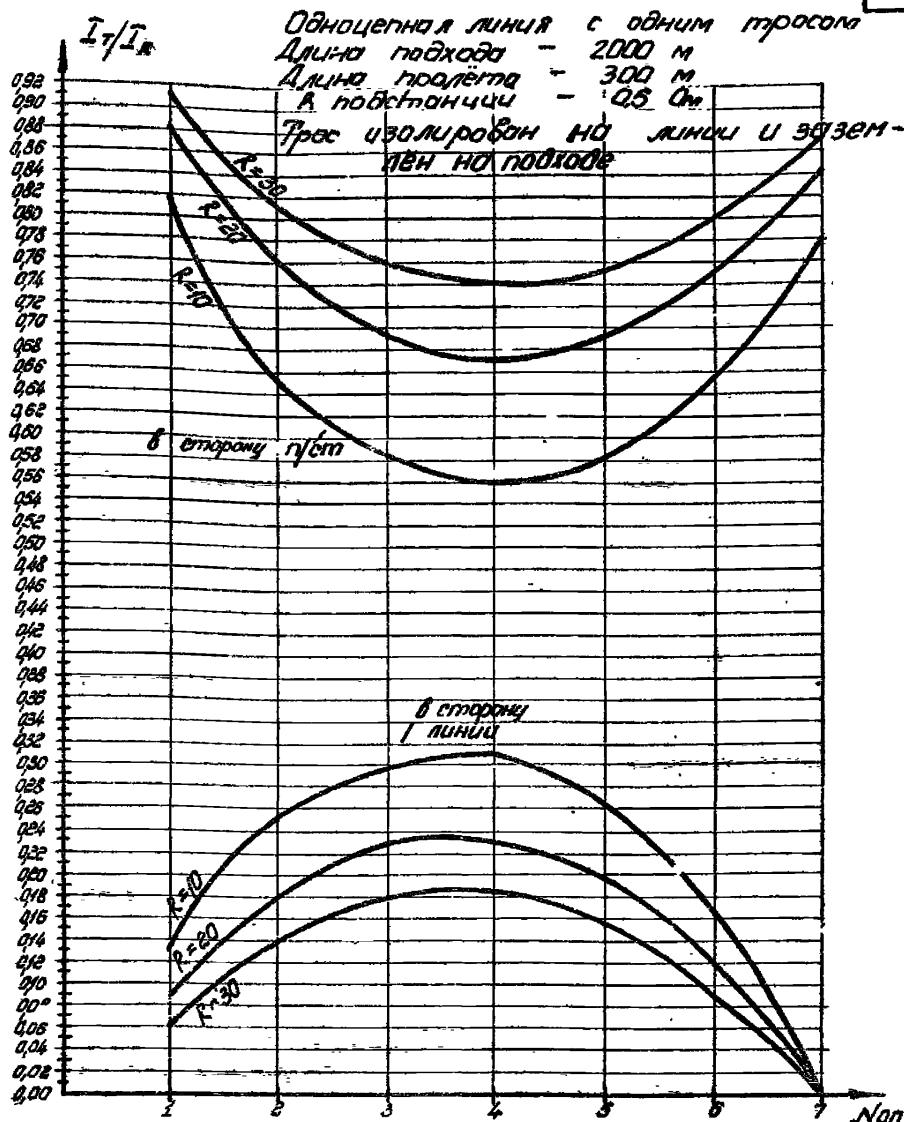
Температурное распределение в стальных эрозийно-защитных тросах ТК-50 и ТК-70

Одноцепная линия с одним тросом
 Длина подхода - 2000 м
 Длина пролёта - 200 м
 R подстанции - 0,5 Ом

Трос изолирован на линии и заземлён
 на подходе

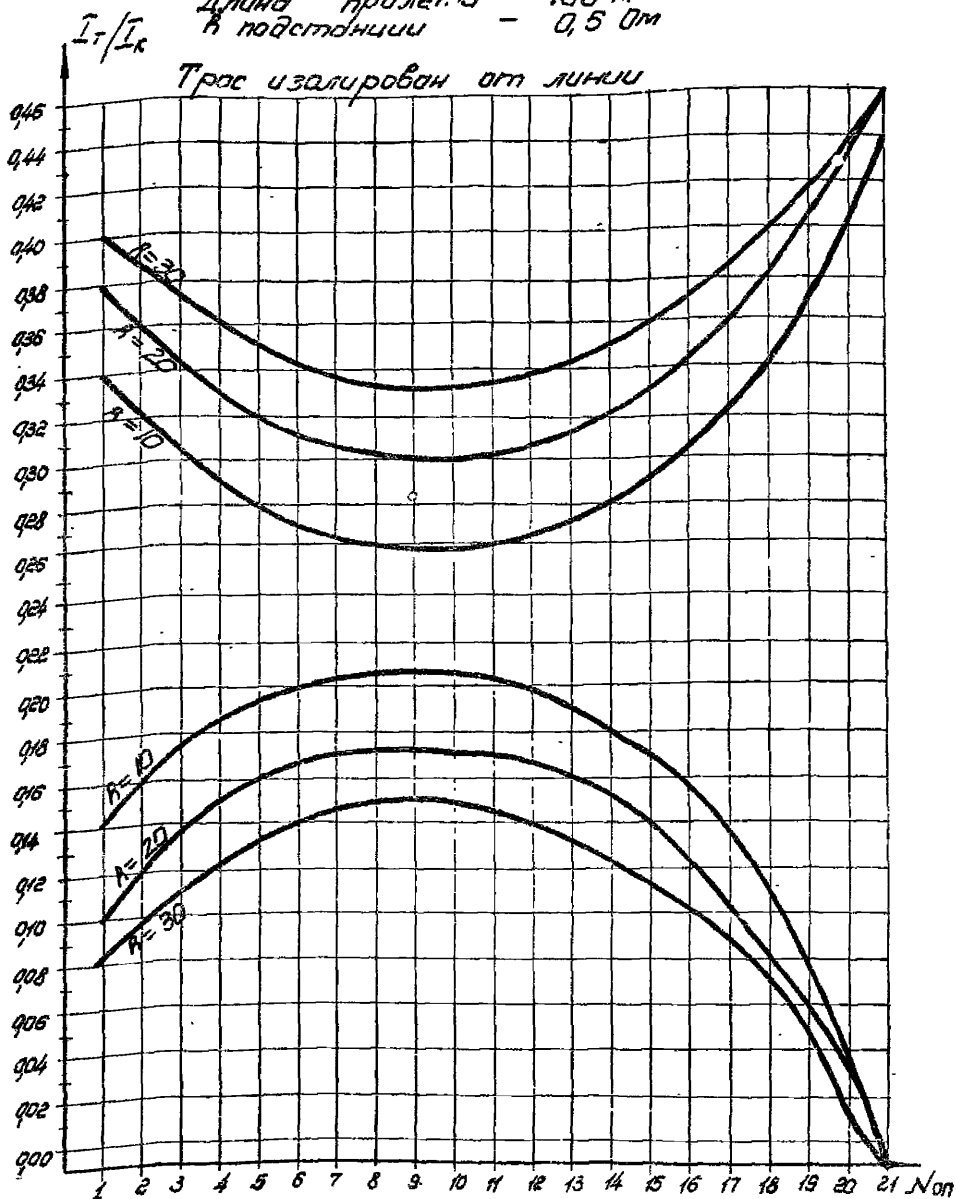


Методические указания по расчёту термической устойчивости
 грозозащитных тросов воздушных линий электропередачи
 Токораспределение в стальных грозозащитных тросах
 ТК-50 и ТК-70



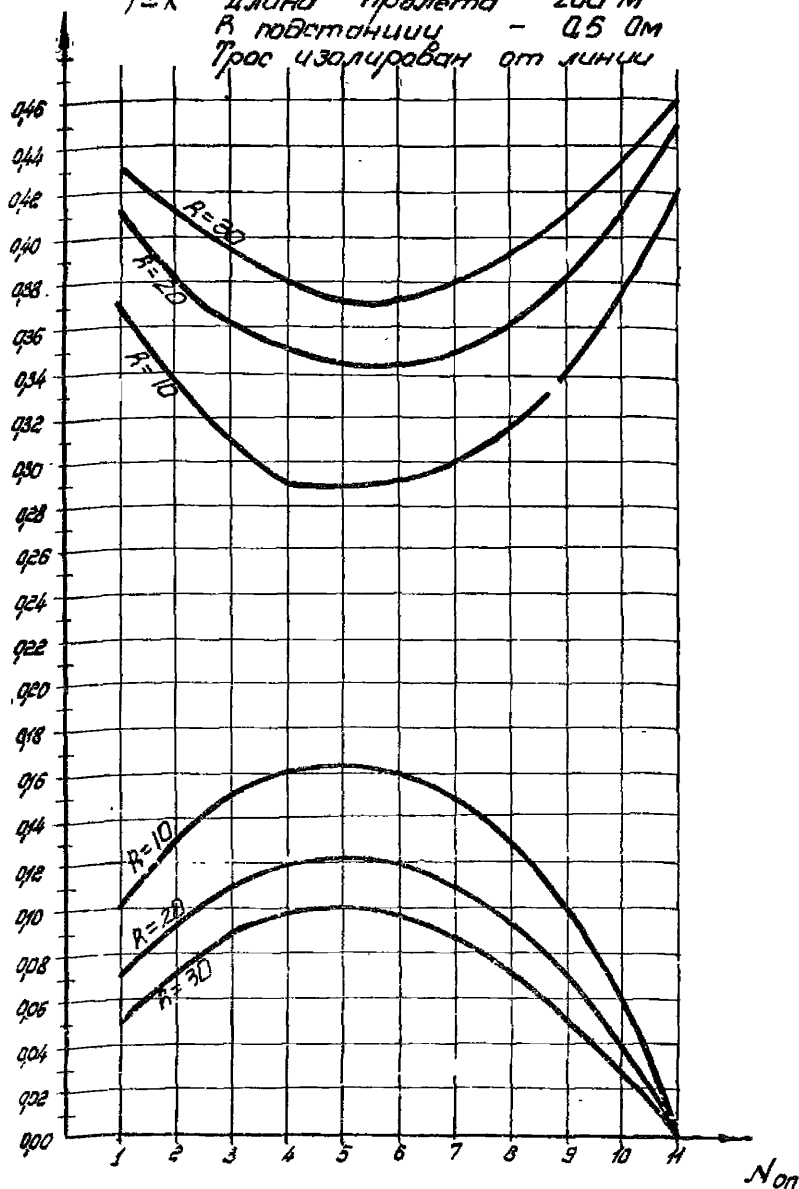
Методические указания по расчёту термической устойчивости грозозащитных тросов воздушных линий электропередачи.
 Токараспределение в стальных грозозащитных тросах ТК-50 и ТК-70.

Одноцепная линия с двумя тросами
 Длина подхода - 2000 м
 Длина пролёта - 100 м
 R подстанции - 0,5 Ом



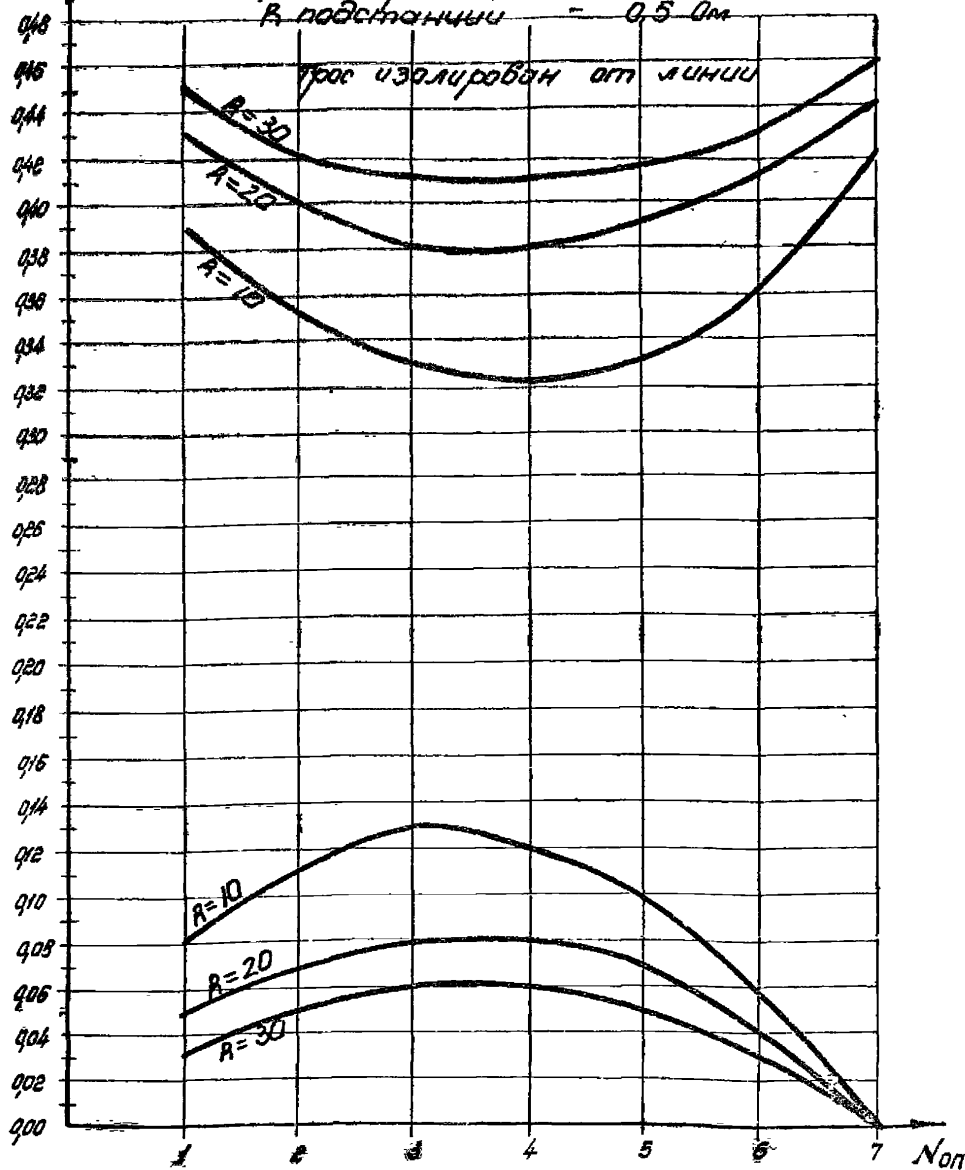
Методические указания по расчёту термической устойчивости грозазащитных тросов воздушных линий электропередачи
 Распределение в стальных грозазащитных тросах ТГ-50 и ТГ-70.

Одноцепная линия с двумя тросами
 Длина подхода - 2000 м
 Длина пролёта - 200 м
 R постоичици - 0,5 Ом
 Трос изолирован от линии



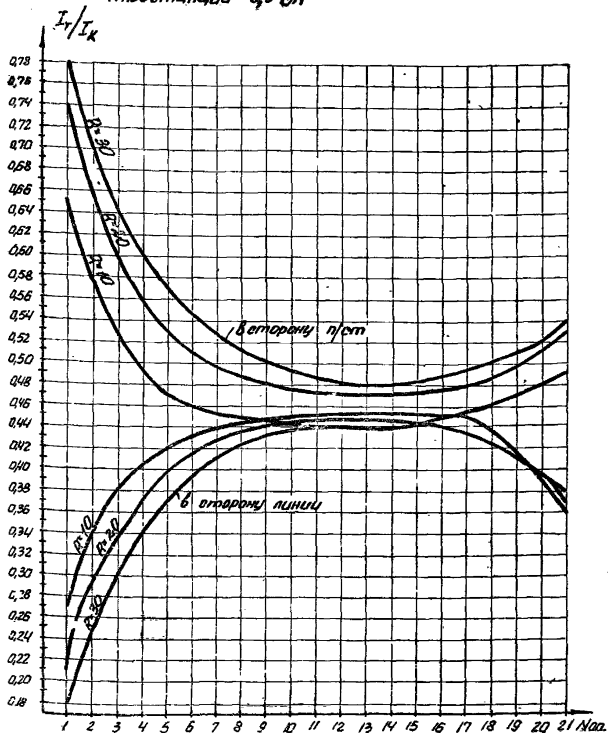
Методические указания по расчёту термической устойчивости
 грозозащитных тросов воздушных линий электропередачи
 Распределение в стальных грозозащитных тросах ТК-50 и ТК-70

Одноцепная линия с двумя тросами
 Длина подхода - 2000 м
 Длина пролёта - 300 м
 R подстанции - 0,5 Ом



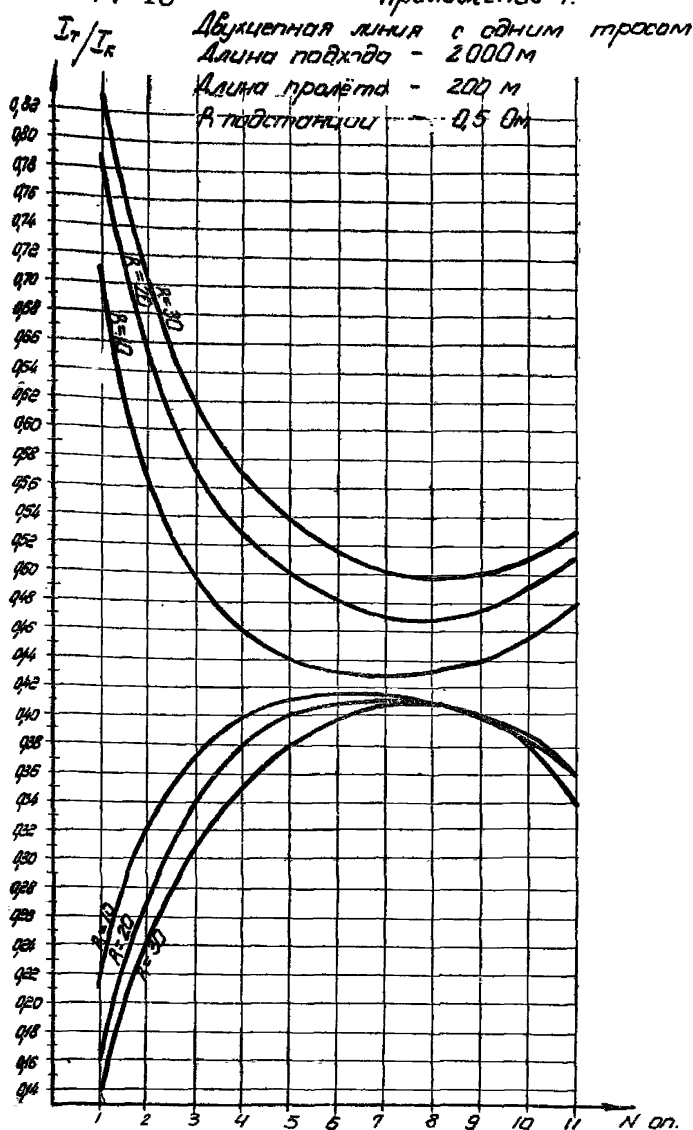
Методические указания по расчёту термической устойчивости
 грозозащитных тросов воздушных линий электропередачи
 Распределение в стальных грозозащитных тросах ТГ-50 и ТГ-70

Двухцепная линия с одним тросом
 Длина подхода - 2000 м
 Длина пролёта - 100 м
 R подстанции - 0,5 Ом



Методические указания по расчёту термической устойчивости
 грозозащитных тросов воздушных линий электропередачи

Токараспределение в стальных грозозащитных тросах ТК-50 и ТК-70



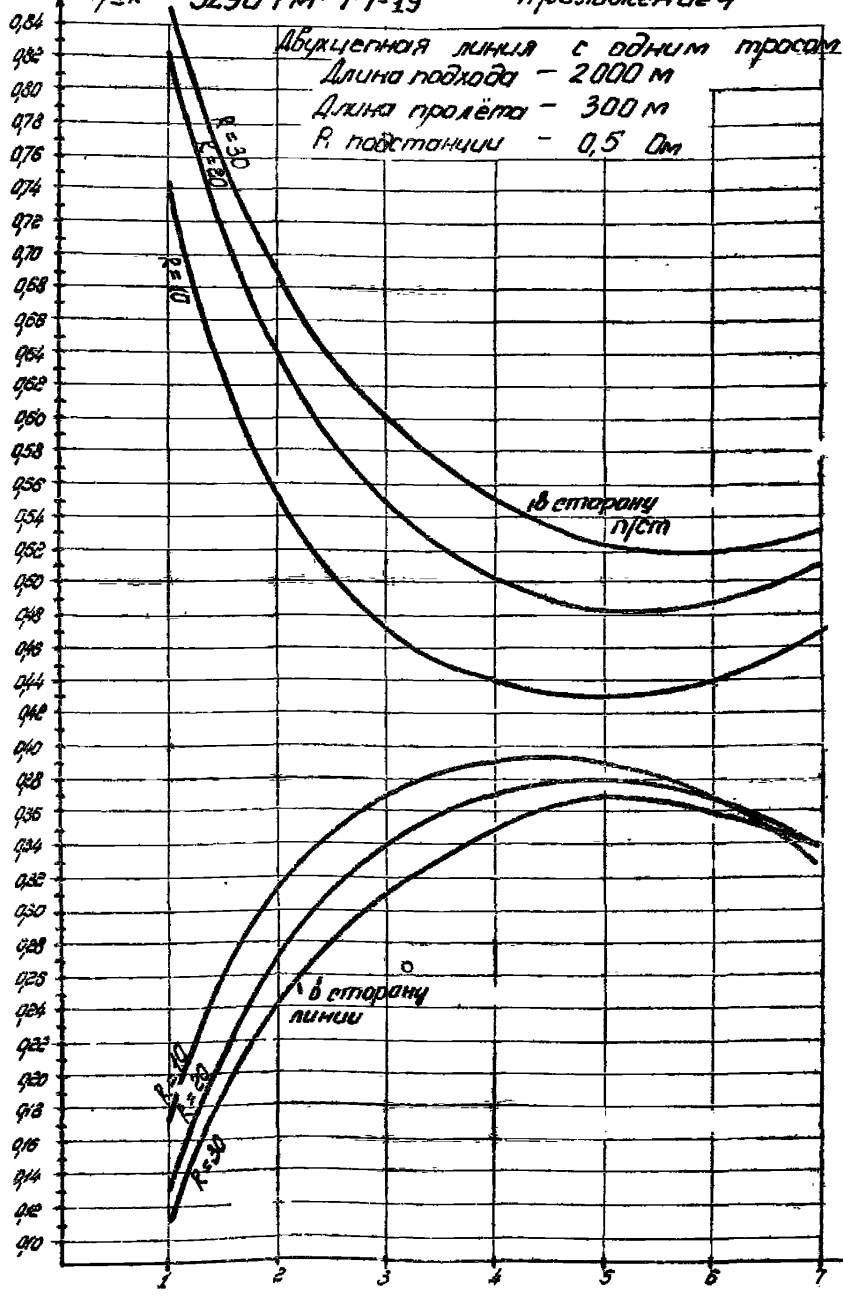
Методические указания по расчёту термической устойчивости
 грозозащитных тросов воздушных линий электропередачи
 Распределение в стальных грозозащитных тросах ТГК-50 и ТГК-70.

I_T/I_K

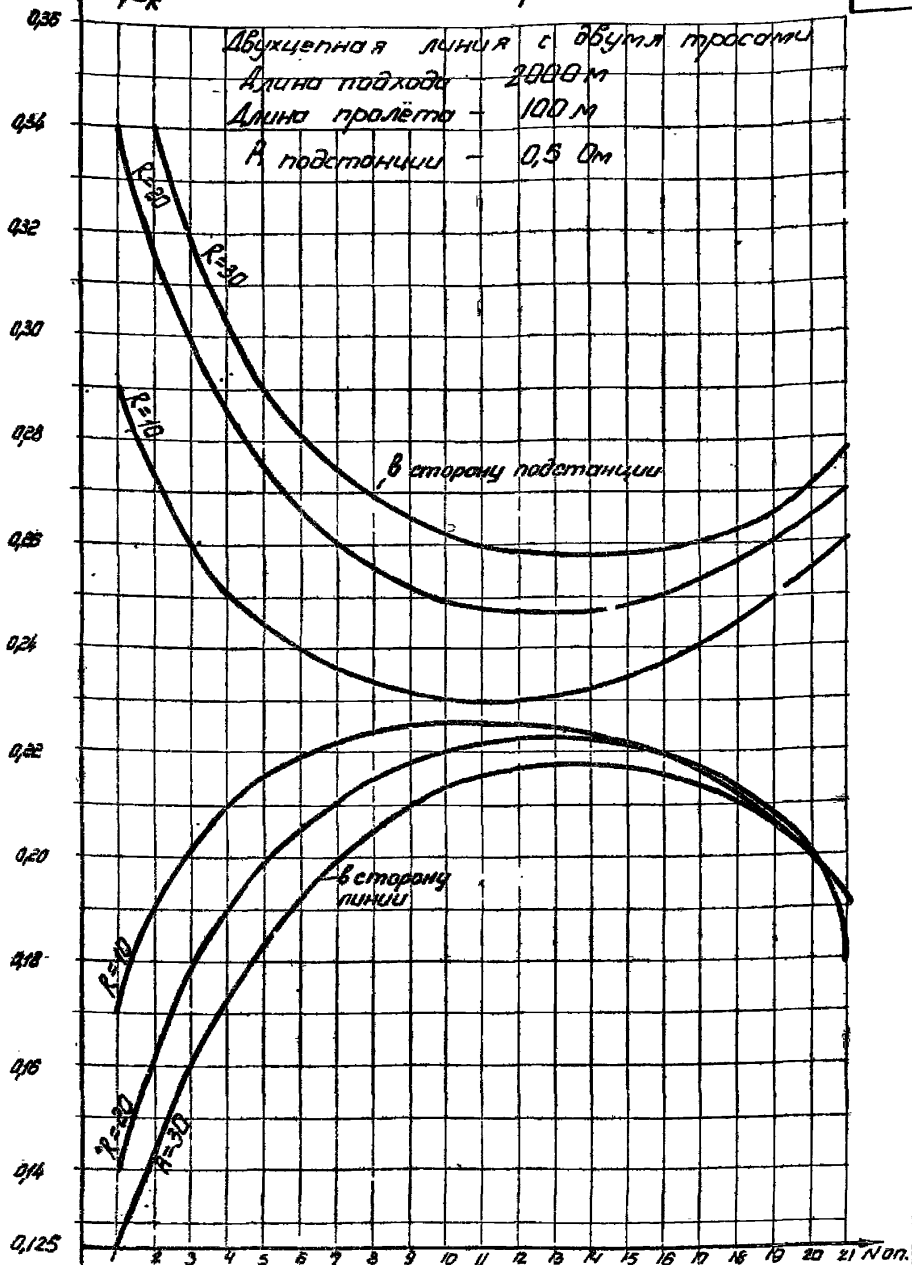
5290 ТМ-Т 1-19

Приложение 4

42



Методические указания по расчёту термической устойчивости
грозозащитных тросов воздушных линий электропередачи
Тока распределение в стальных грозозащитных тросах
ТК-50 и ТК-70.



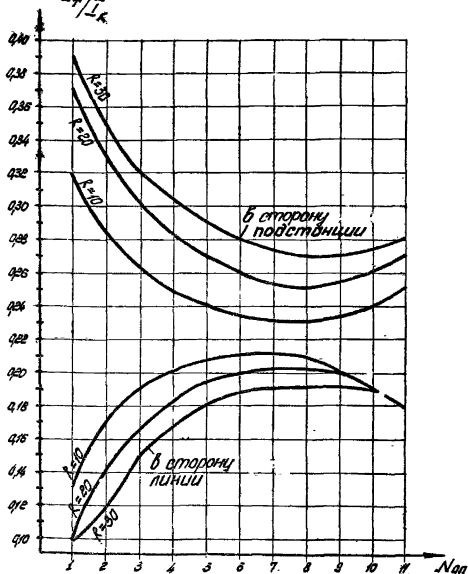
Методические указания по расчёту термической устойчивости
 грозозащитных тросов воздушных линий электропередачи
 покоротделению в стальных грозозащитных тросах
 ТК-50 и ТК-10.

Двухцепная линия с двумя тросами

Длина подхода - 2000 м

Длина пролёта - 200 м

R подстанции - 0,5 Ом

 I_T/I_K 

Методические указания по расчёту термической устойчивости
грозозащитных тросов воздушных линий электропередачи

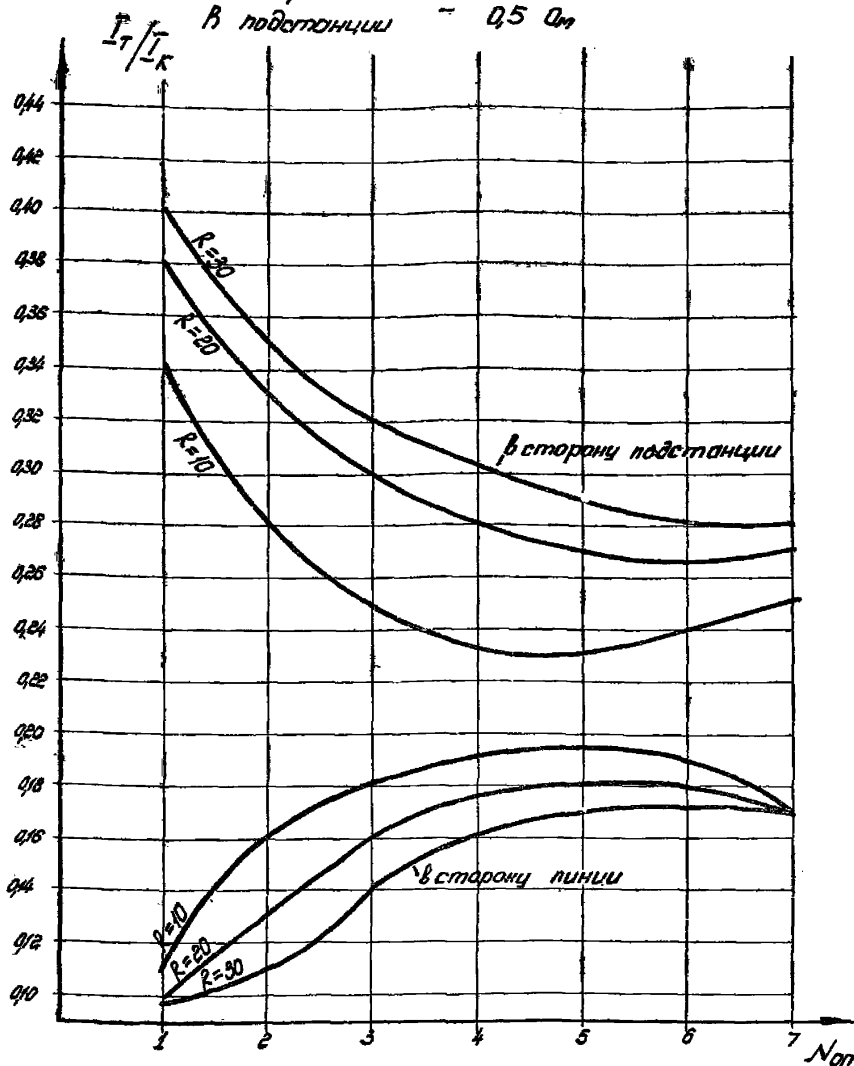
Горючегорючие в стальных грозозащитных тросах ТК-50 и ТК-70

Двухцепная линия с двумя тросами

Длина подхода - 2000 м

Длина пролёта - 300 м

В подстанции - 0,5 Ом

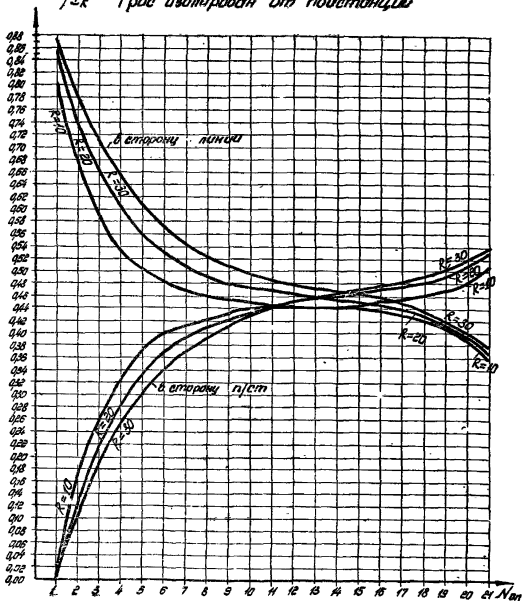


Методические указания по расчёту термической устойчивости грозозащитных тросов воздушных линий электропередачи
 Распределение в стальных грозозащитных тросах
 ТК-50 и ТК-70.

Двухцепная линия с одним тросом

Длина подхода - 2000м

Длина пролета - 100м

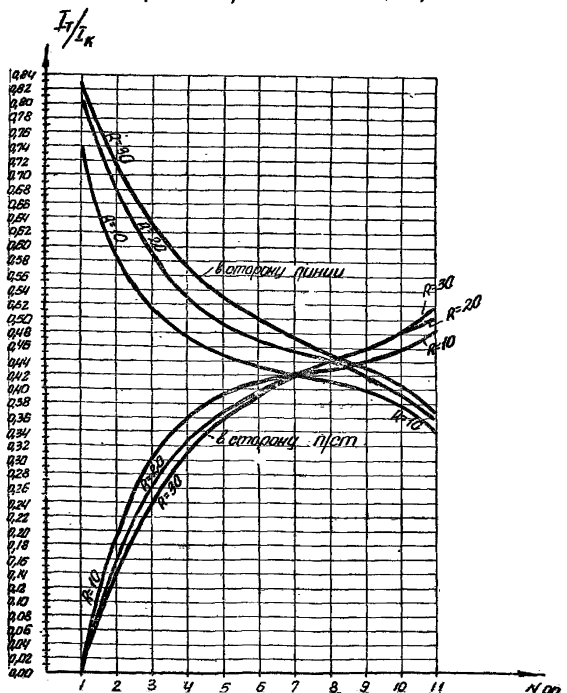
 I_T/I_K Трос изолирован от подстанции

Математические указания по расчёту термической устойчивости грозозащитных тросов воздушных линий электропередачи

Токараспределения в стальных грозозащитных тросах ТК-50 и ТК-70

Двухцепная линия в одном тросе
 Длина подхода - 2000 м
 Длина пролёта - 200 м

Трос изолирован от подстанции

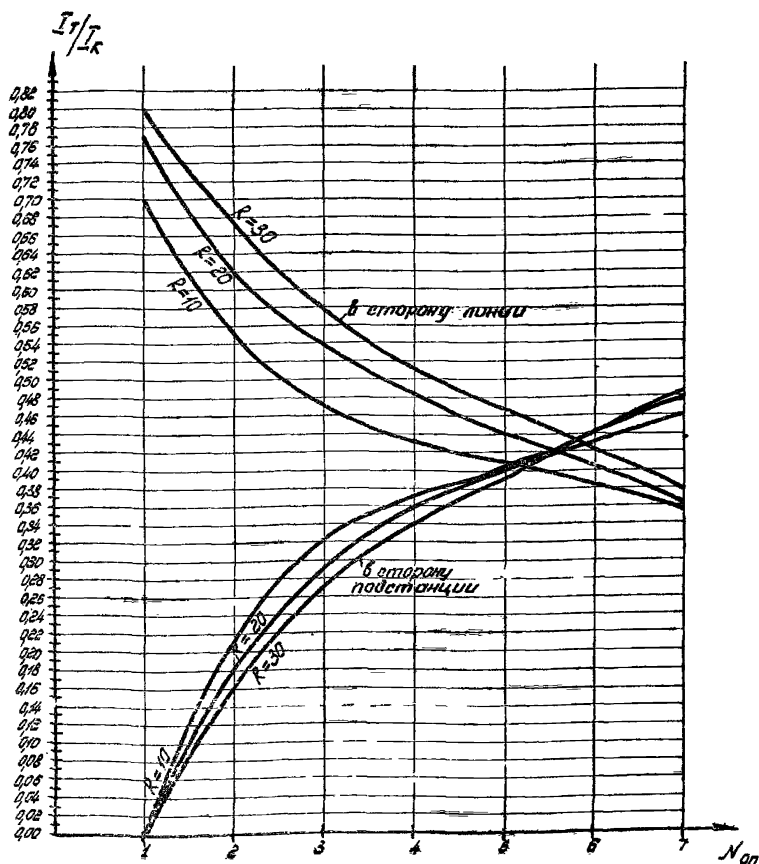


Методические указания по расчёту термической устойчивости
 грозозащитных тросов воздушных линий электропередачи

Токи распределения в стальных грозозащитных тросах ТК-50 и ТК-70

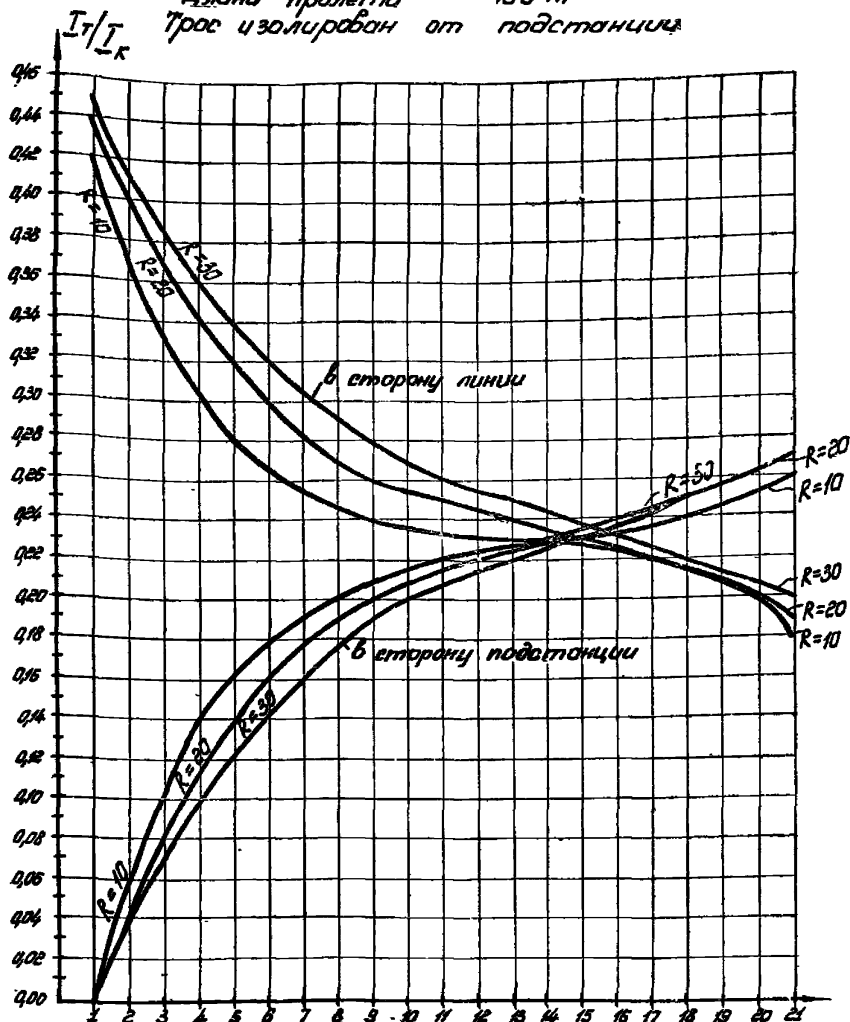
Двухцепная линия с одним тросом
 Длина подхода - 2000 м
 Длина пролёта - 300 м

Трос изолирован от подстанции



Методические указания на расчёту термической устойчивости
 грозозащитных тросов воздушных линий электропередачи
 Распределение в стальных грозозащитных тросах
 ТК-50 и ТК-70.

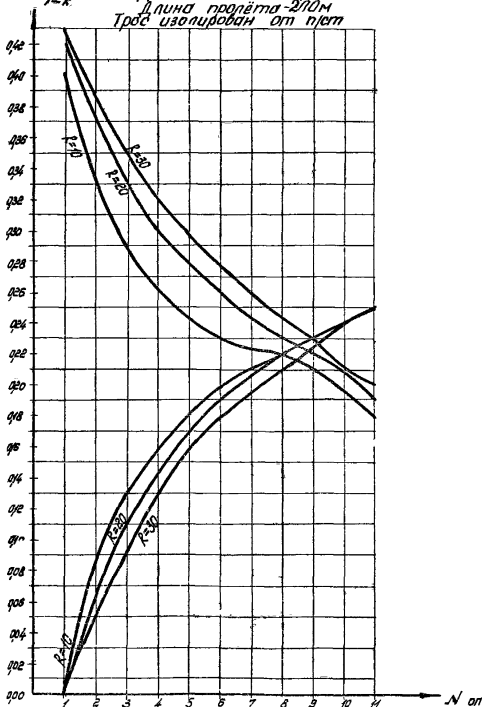
Двухцепная линия с двумя тросами
 Длина подхода — 2000 м
 Длина пролёта — 100 м
 Трос изолирован от подстанции



Метаболические указания по расчету термической устойчивости
 грозащитных тросов воздушных линий электропередачи
 вкораспределение в стальных грозащитных тросах
 ТК-50 и ТК-70.

I_T/I_K

Двухцепная линия с двумя тросами
 Длина подхода - 2000 м
 Длина пролёта - 270 м
 Трос изолирован от пьест

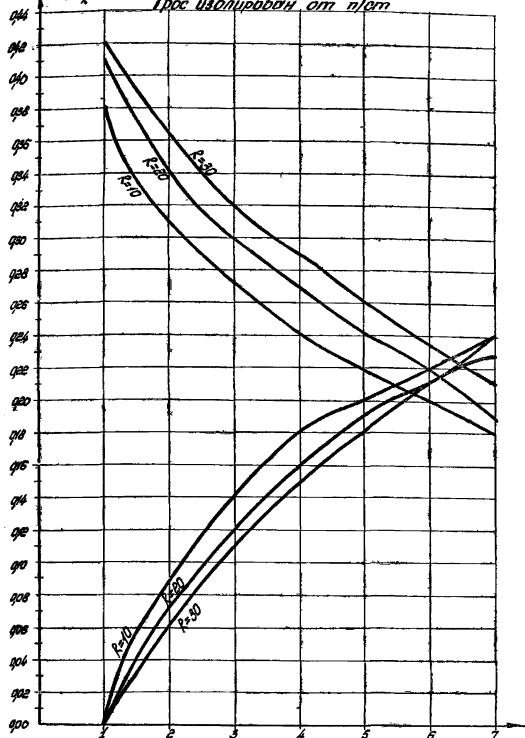


Методические указания по расчёту термической устойчивости
 грозозащитных тросов воздушных линий электропередачи

Токараспределение в отальных грозозащитных тросах ТК-50 и ТК-70

I_7/I_c

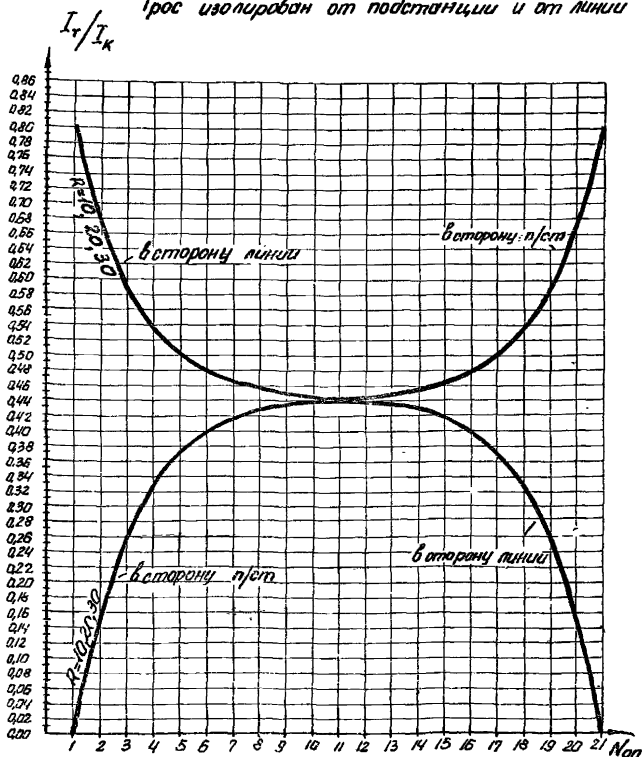
Двухцепная линия с двумя тросами
 Длина подхода - 2000 м, длина пролёта - 300 м
 Трос изолирован от п/ст



Методические указания по расчёту термической устойчивости
 грозозащитных тросов воздушных линий электропередачи
 Токораспределение в стальных грозозащитных тросах ТК-50 и ТК-70

Двухцепная и одноцепная линии с одним тросом
 Длина подхода - 2000 м
 Длина пролёта - 100 м

Трос изолирован от подстанции и от линии

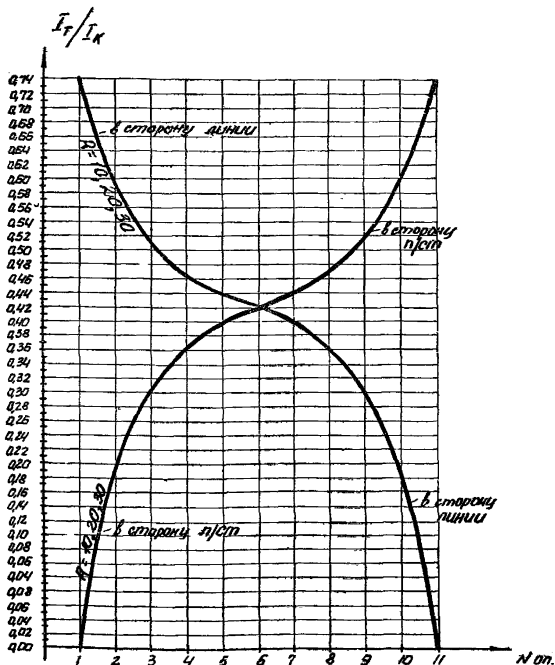


Методические указания по расчёту термической устойчивости
 грозозащитных тросов воздушных линий электропередачи

Распределение ваттных грозозащитных тросов ТК-50, ТК-70

Двухцепная и одноцепная линии со одним тросом
 Длина подхода - 2000 м
 Длина пролёта - 200 м

Трос изолирован от п/ст и от линии



Методические указания по расчёту термической устойчивости грозозащитных тросов воздушных линий электропередачи
 Токаров-распределение в стальных грозозащитных тросах ТК-50, ТК-70

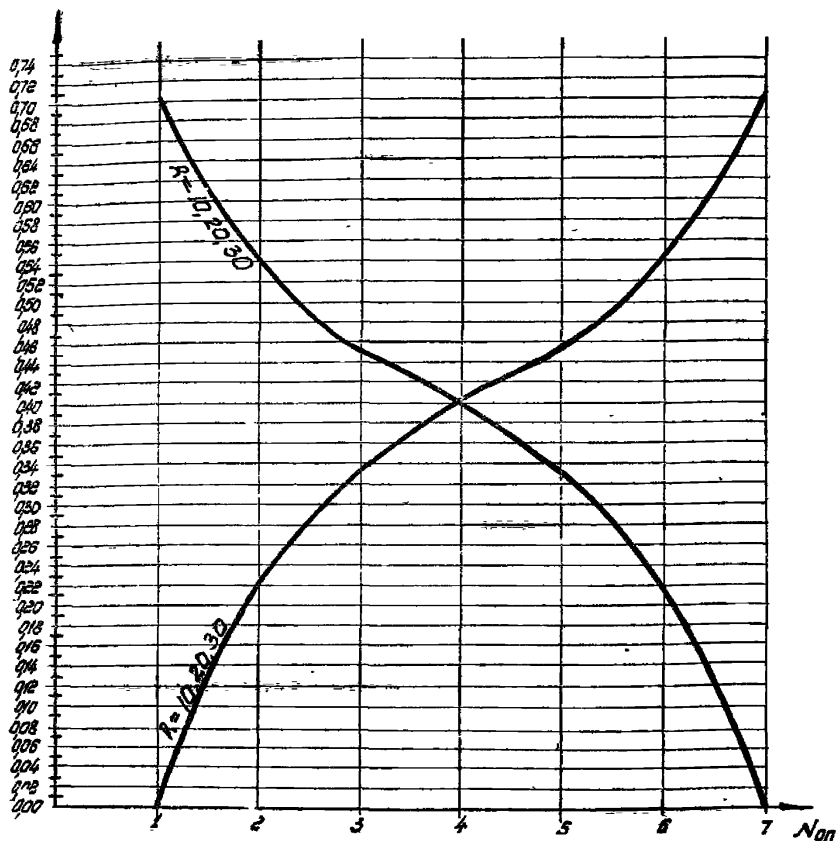
Двухцепная и одноцепная линии с одним тросом

Длина подхода - 2000 м

Длина пролёта - 300 м

Трос изолирован от подстанции и от
линии.

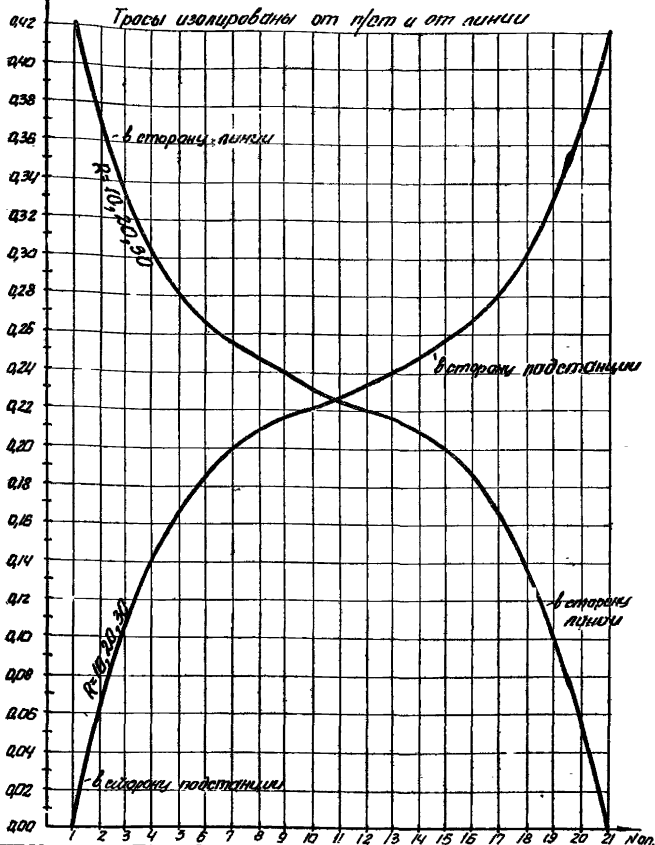
I_T/I_K



Методические указания по расчёту термической устойчивости
грозозащитных тросов воздушных линий электропередачи
Распределение в стальных грозозащитных тросах ТК-50, ТК-70.

I_1/I_k

Двухцепная и одноцепная линии в два пролёта
 Длина подхода - 2000 м Длина пролёта - 100 м



Методические указания по расчёту термической устойчивости
 грозозащитных тросов воздушных линий электропередачи

Токораспределение в стальных грозозащитных тросах ТК-50 и ТК-70

5290 ТМ - Т1-33

Приложение 4

56

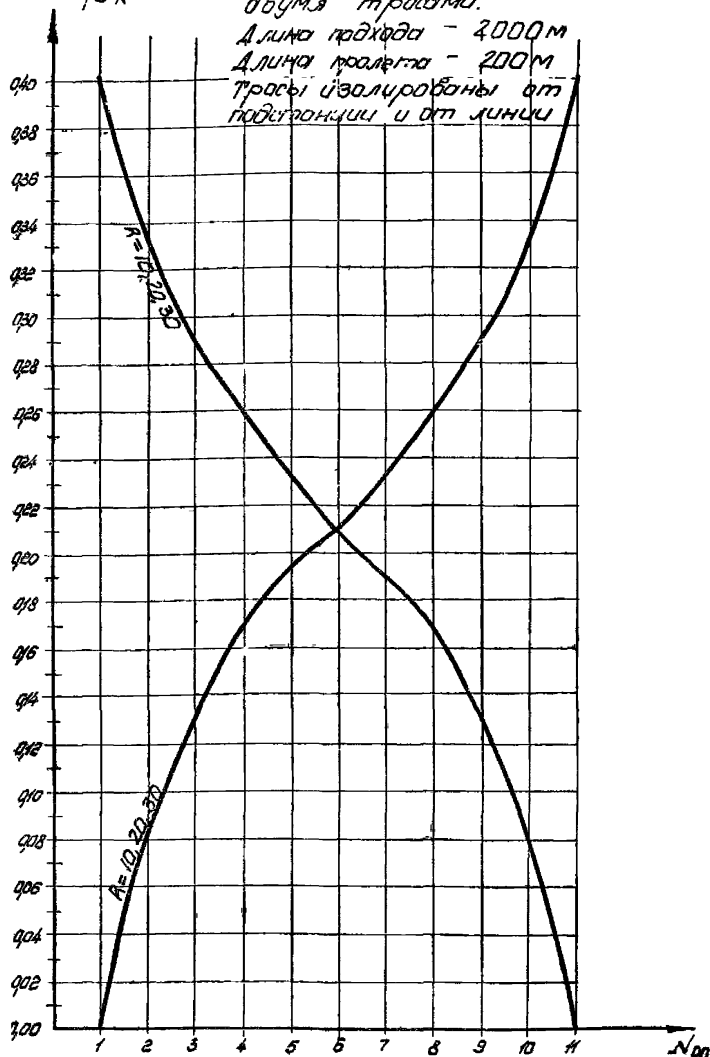
 I_T/I_K

Двухцепная и одноцепная линии с двумя тросами.

Длина подхода - 2000 м

Длина пролета - 200 м

Тросы изолированы от подстанции и от линии



Методические указания по расчёту термической устойчивости грозозащитных тросов воздушных линий электропередачи

Распределение в стальных грозозащитных тросах ТГК-50 и ТГК-70.

5290 тт-Т1-34

Приложение нч

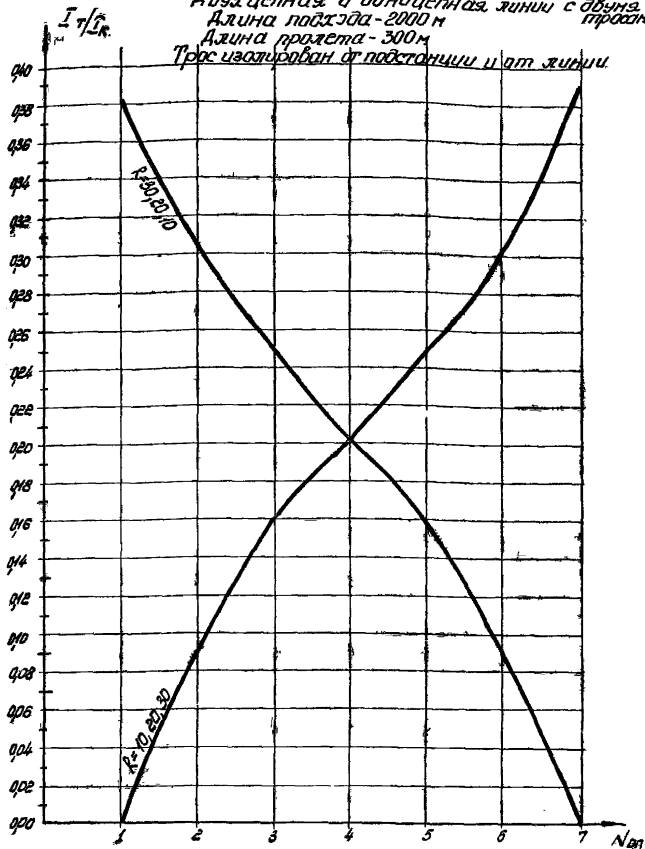
57

Двухцепная и одноцепная линии с двумя тросами

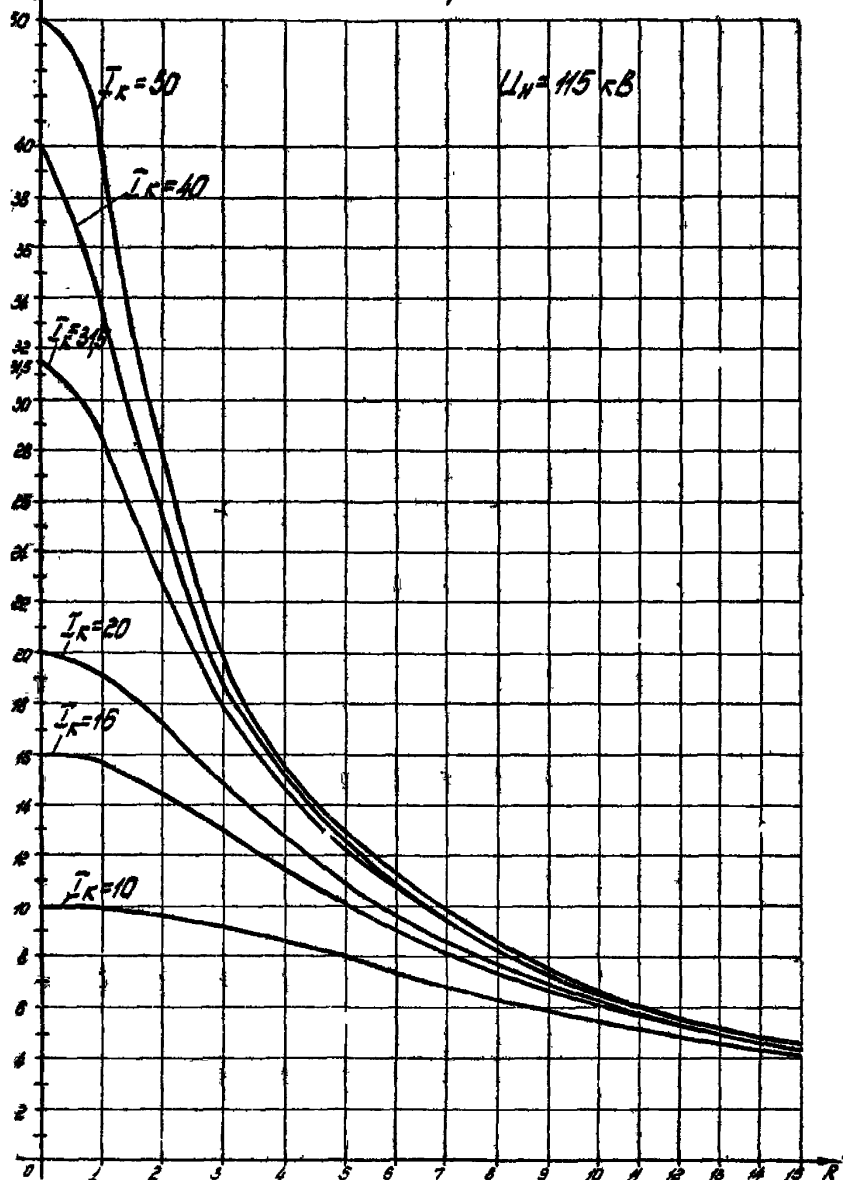
Длина подхода - 2000 м

Длина пролета - 300 м

Трос изолирован от подстанции и от линии



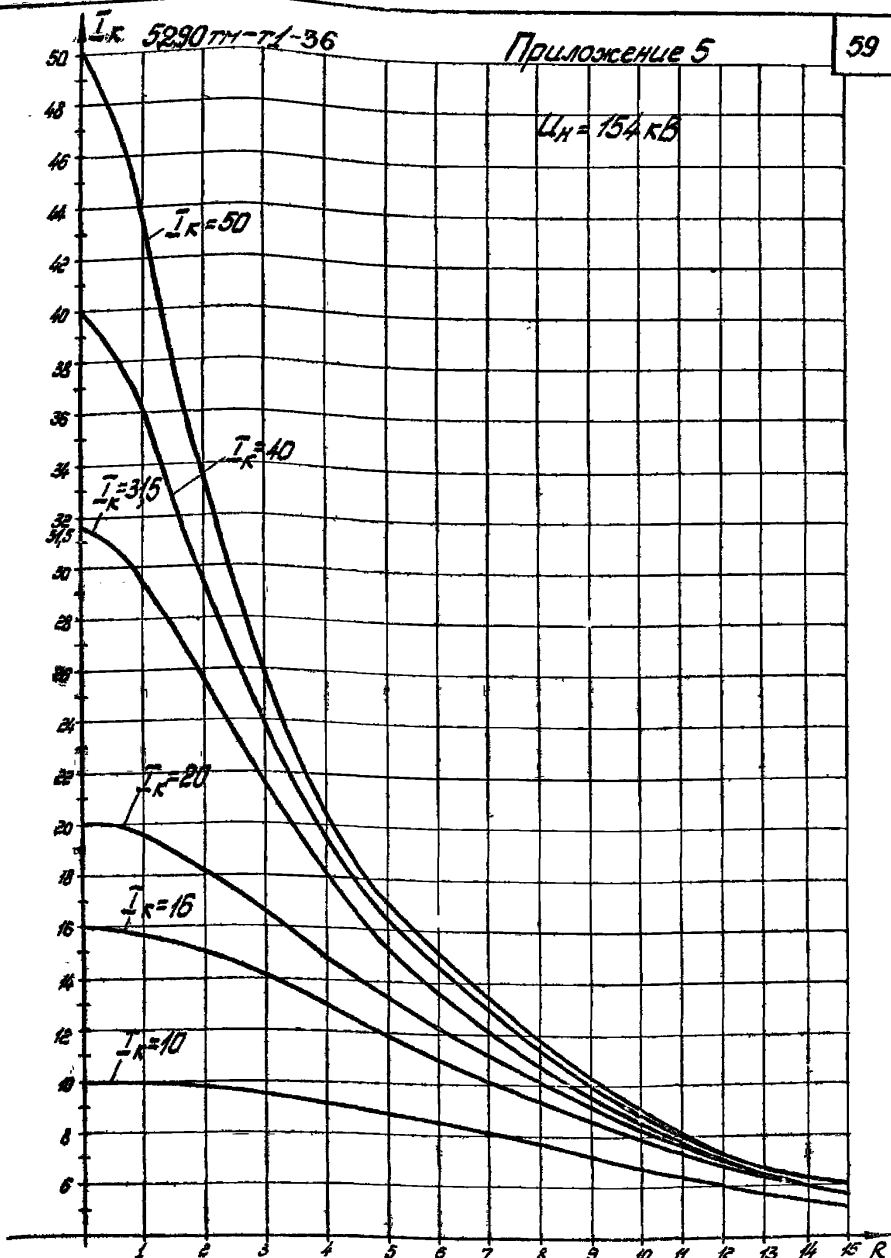
Методические указания по расчету термической устойчивости
грозазащитных тросов воздушных линий электропередачи
Токараспределение в стальных грозазащитных тросах ТК-50 и ТК-70.



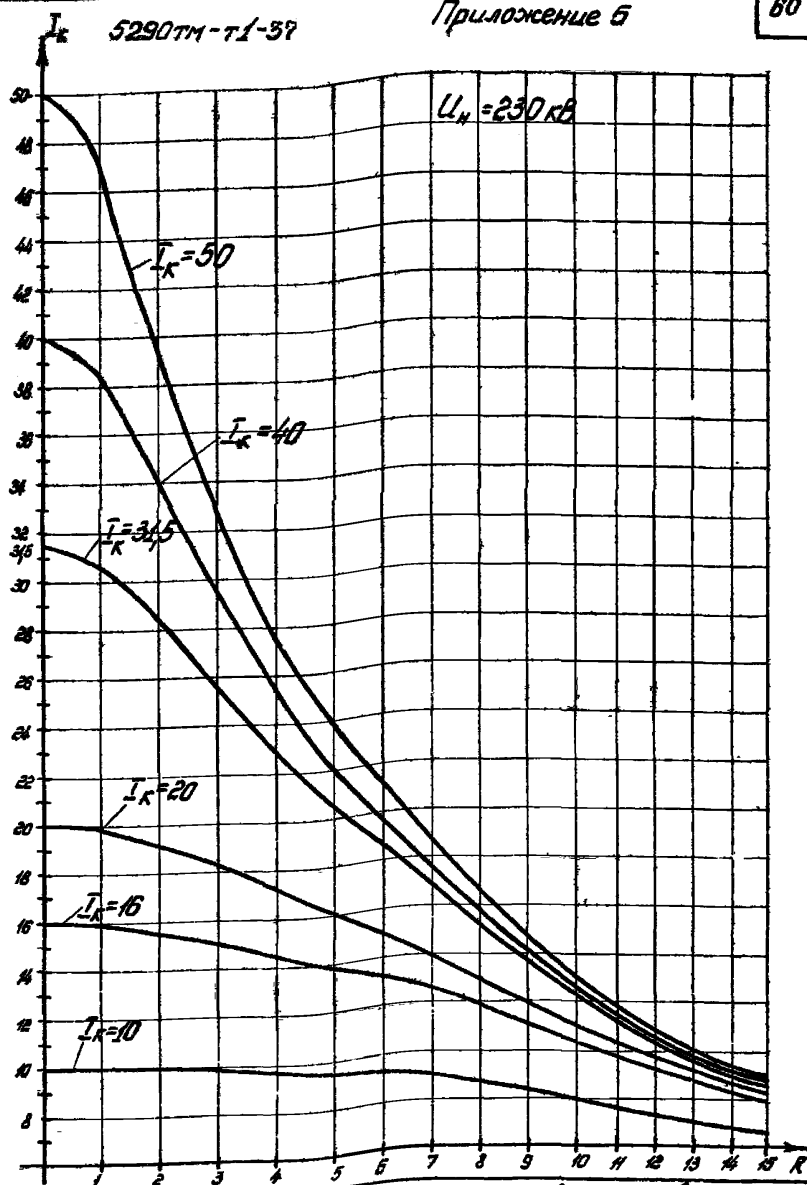
Методические указания по расчету термической устойчивости грозозащитных проводов воздушных линий электропередачи.

Кривые снижения тока короткого замыкания в зависимости от активного сопротивления заземления.

$U_H = 154 \text{ кВ}$

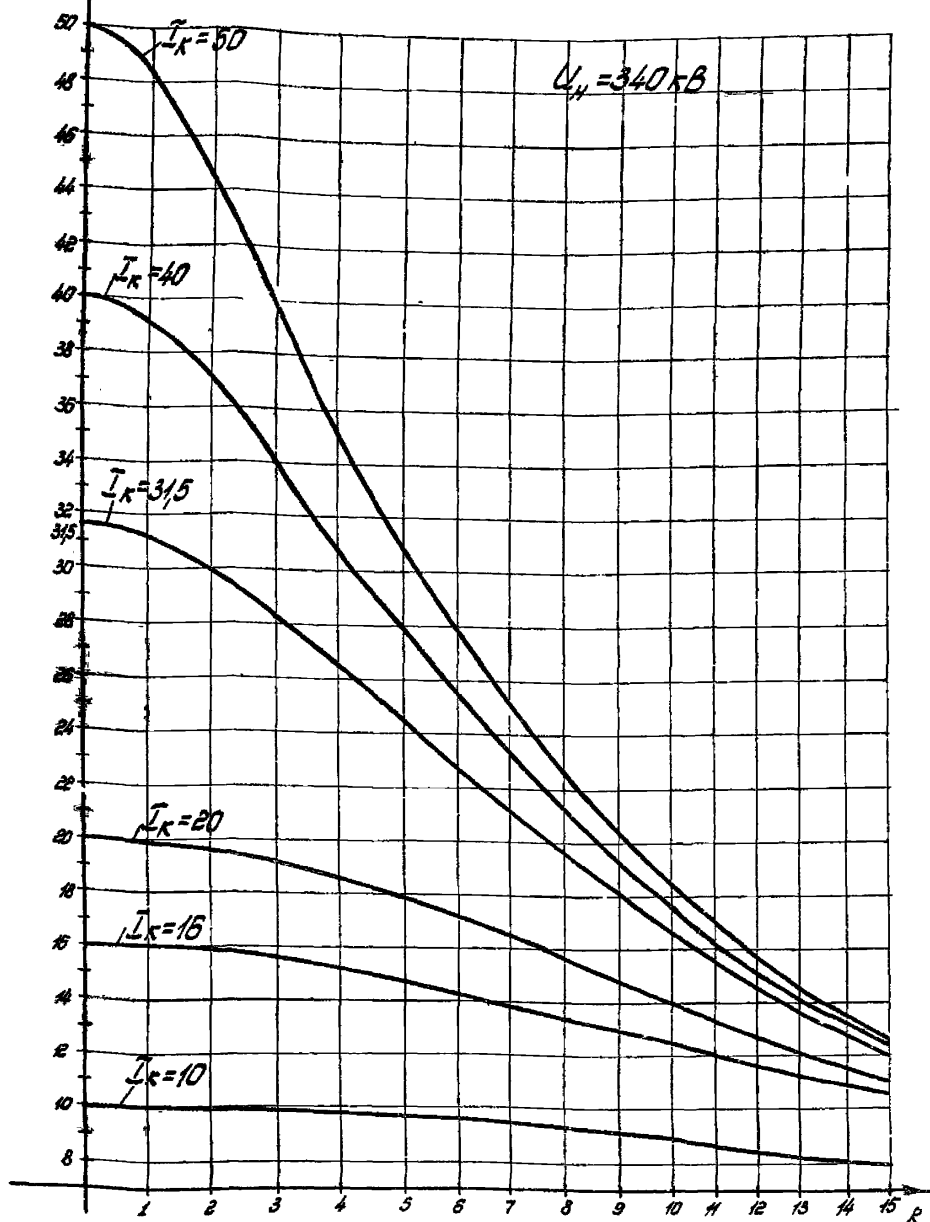


Методические указания по расчету термической устойчивости грозозащитных тросов воздушных линий электропередачи
Кривые снижения тока короткого замыкания в зависимости от активного сопротивления заземления.



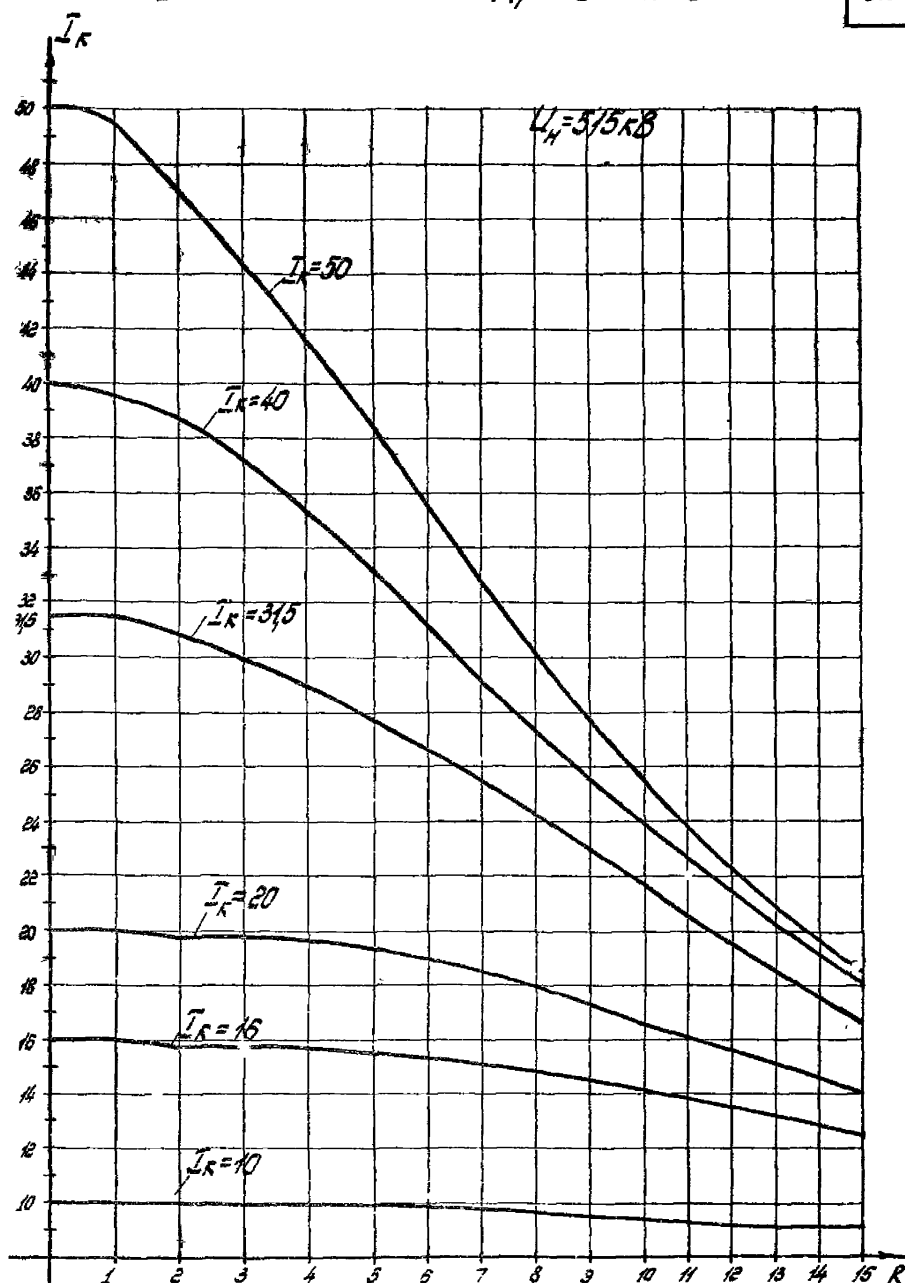
Методические указания по расчету термической устойчивости грозозащитных тросов воздушных линий электропередачи.

Кривые снижения тока короткого замыкания в зависимости от активного сопротивления заземления.



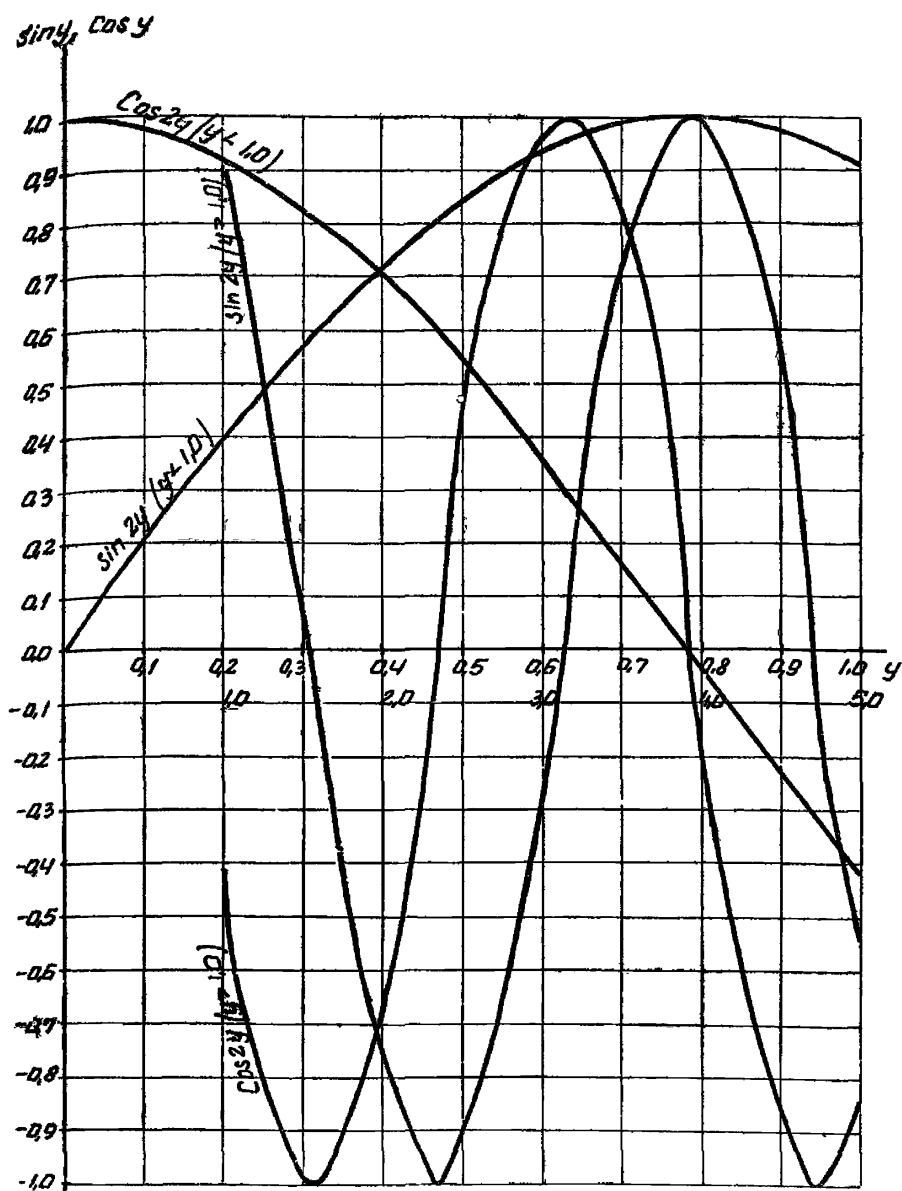
Методические указания по расчету термической устойчивости гро-
защитных тросов воздушных линий электропередачи

Кривые снижения тока короткого замыкания в зависимости
от активного сопротивления заземления.

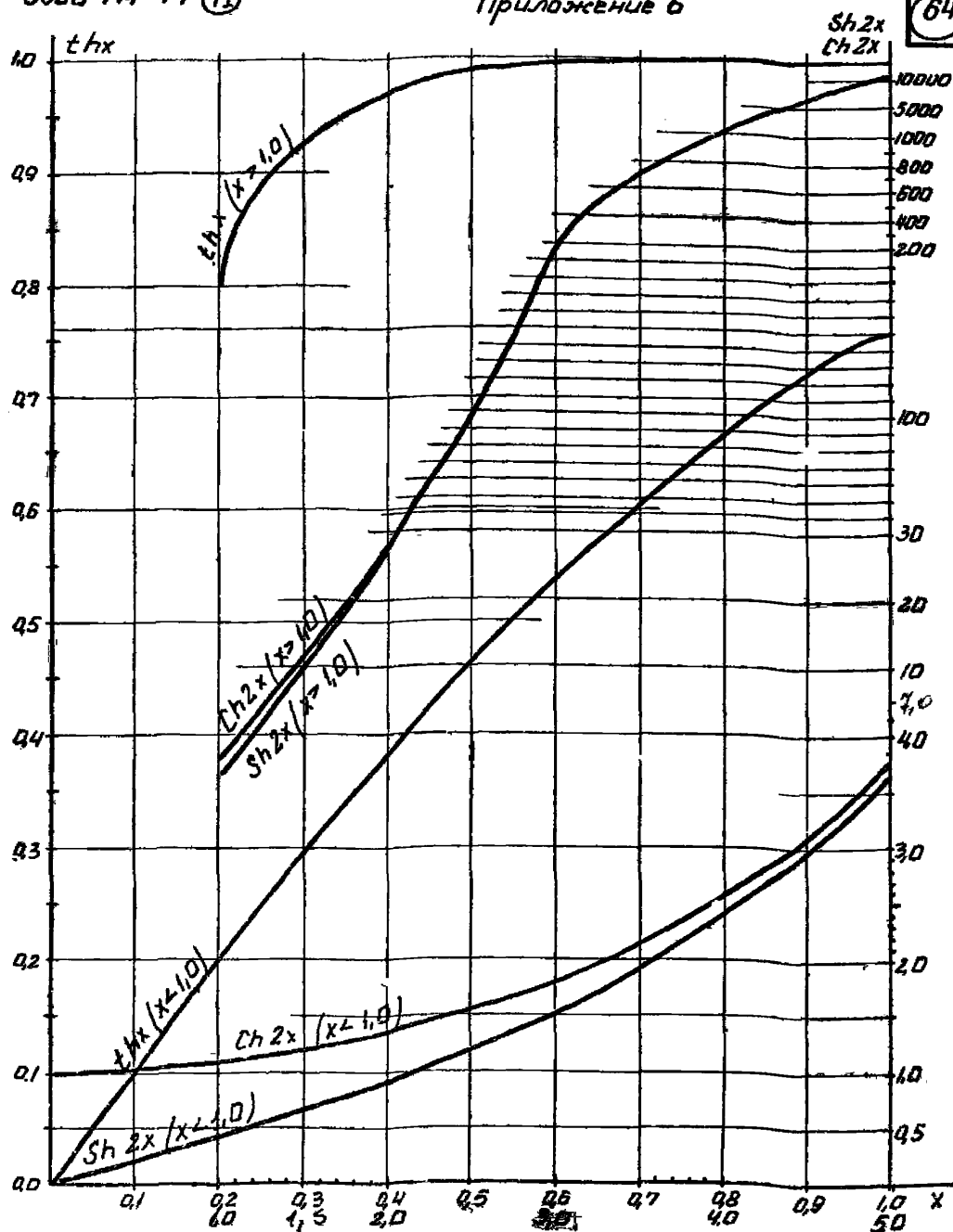


Методические указания по расчету термической устойчивости гро-
зозащитных тросов воздушных линий электропередач

Кривые снижения тока короткого замыкания в зависимости
от активного сопротивления заземления



Методические указания по расчету термической устойчивости
 грозозащитных тросов воздушных линий электропередачи
 Кривые изменения некоторых тригонометрических и гипербо-
 лических функций.



Для действительных чисел thx определяется непосредственно по кривым

$$\text{Для комплексных чисел } th(x+jy) = \frac{sh 2x}{ch 2x + \cos 2y} \pm j \frac{\sin 2y}{ch 2x + \cos 2y}$$

Методические указания по расчету термической устойчивости грозозащитных тросов воздушных линий электропередачи
Кривые изменения некоторых тригонометрических и гиперболических функций